

Deutsches Patent- und Markenamt  
Der Präsident

Deutsches Patent- und Markenamt  
80297 München

**Bescheinigung**



Die Übereinstimmung der angehefteten Unterlagen der Offenlegungsschrift  
DE 3920282 mit der in der Bibliothek des Deutschen Patent- und Markenamts  
vorhandenen Originalvorlage wird bestätigt.

Aktenzeichen: P 39 20 282.8

München, den 30. Juli 1999

Im Auftrag

Weihmayer

**This Page Blank (uspto)**

⑯ BUNDESREPUBLIK

DEUTSCHLAND



DEUTSCHES  
PATENTAMT

⑯ Offenlegungsschrift

⑯ DE 3920282 A1

⑯ Aktenzeichen: P 39 20 282.8

⑯ Anmeldetag: 21. 6. 89

⑯ Offenlegungstag: 3. 1. 91

⑯ Int. Cl. 5:

C 12 N 5/10

C 12 N 1/20

C 12 N 1/14

C 12 P 21/00

C 07 H 21/04

C 12 P 19/34

C 12 N 15/09

A 61 K 37/02

// C07K 3/14,3/20,

3/22,3/28

DE 3920282 A1

⑯ Anmelder:

Boehringer Ingelheim International GmbH, 6507  
Ingelheim, DE

⑯ Erfinder:

Hauptmann, Rudolf, Dr., Ebreichsdorf, AT; Himmller,  
Adolf, Dr.; Maurer-Fogy, Ingrid, Dr.; Stratowa,  
Christian, Dr., Wien, AT

⑯ TNF-Rezeptor, TNF bindende Proteine und dafür kodierende DNAs

Ausgehend von einem gereinigten TNF- $\alpha$  bindenden Protein wird die für dieses Protein kodierende DNA zur Verfügung gestellt. Dieses Protein stellt den extrazellulären Teil eines TNF-Rezeptors dar. Auf Basis der für das TNF-bindende Protein und einen TNF-Rezeptor kodierenden DNA können Expressionssysteme zur Herstellung von rekombinantem TNF-bindendem Protein und TNF-Rezeptor verwendet werden. Rekombinantes TNF bindendes Protein kommt in pharmazeutischen Zubereitungen zur Behandlung von Indikationen, bei denen eine schädigende Wirkung von TNF auftritt, zur Anwendung.

Mit Hilfe des TNF-Rezeptors bzw. Fragmenten davon können z. B. Substanzen auf ihre Beeinflussung der biologischen Wirkung von TNF- $\alpha$  und/oder TNF- $\beta$  untersucht werden.

DE 3920282 A1

## Beschreibung

Die Erfindung bezieht sich auf einen TNF-Rezeptor sowie auf ein TNF bindendes Protein.

5 Tumornekrosefaktor (TNF- $\alpha$ ) wurde erstmals im Serum von Mäusen und Kaninchen gefunden, die mit Bacillus Calmette-Guerin infiziert und denen Endotoxin injiziert worden war, und auf Grund seiner cytotoxischen und Antitumoreigenschaften erkannt (1). Er wird vor allem von aktivierten Makrophagen und Monozyten produziert. Zahlreiche Zelltypen, die Ziele für TNF sind, weisen Oberflächenrezeptoren mit hoher Affinität für dieses Polypeptid auf (2); es wurde angenommen, daß Lymphotoxin (TNF- $\beta$ ) an denselben Rezeptor bindet (3, 4). TNF- $\alpha$  ist identisch mit einem als Cachectin bezeichneten Faktor (5), der die Lipoproteinlipase unterdrückt und 10 bei chronischentzündlichen und malignen Erkrankungen zur Hypertriglyceridämie führt (6, 7). TNF- $\alpha$  dürfte an der Regulation des Wachstums sowie an der Differenzierung und Funktion von Zellen, die bei Entzündungen, Immunvorgängen und Hämatopoiese eine Rolle spielen, beteiligt sein.

15 TNF kann auf den Wirtsorganismus durch Stimulation von Neutrophilen (8, 9) und Monocyten sowie durch Hemmung der Replikation von Viren (10, 11) eine positive Wirkung ausüben. Darüber hinaus aktiviert TNF- $\alpha$  die Immunabwehr gegen Parasiten und wirkt direkt und/oder indirekt als Mediator bei Immunreaktionen, entzündlichen Prozessen und anderen Vorgängen im Organismus, wobei die Wirkmechanismen in vielen Fällen noch ungeklärt sind.

20 Die Verabreichung von TNF- $\alpha$  (12) kann jedoch auch von schädlichen Erscheinungen (13) wie Schock und Gewebebeschädigungen begleitet sein, die durch Antikörper gegen TNF- $\alpha$  aufgehoben werden können (14). Eine Reihe von Beobachtungen lässt auf eine Rolle von endogen freigesetztem TNF- $\alpha$  bei verschiedenen pathologischen Zuständen schließen. So scheint TNF- $\alpha$  ein Mediator der Kachexie zu sein, die bei chronisch-invasiven, z.B. 25 parasitären Erkrankungen auftreten kann. TNF- $\alpha$  scheint auch eine wesentliche Rolle bei der Pathogenese des durch gram-negative Bakterien verursachten Schocks (Endotoxin-Schock) zu spielen; er dürfte an einigen, wenn nicht allen Wirkungen von Lipopolysacchariden beteiligt sein (18). Ebenso wurde eine Funktion von TNF bei den im Rahmen von entzündlichen Prozessen in Gelenken und anderen Geweben auftretenden Gewebebeschädigungen sowie bei der Letalität und Morbidität der Graft-versus-host reaction (GVHR, Transplantat-Abstoßung (15) postuliert. Auch wurde ein Zusammenhang zwischen der Konzentration von TNF im Serum und dem tödlichen Ausgang von Meningkokkenerkrankungen berichtet (16).

30 Weiters wurde beobachtet, daß die Verabreichung von TNF- $\alpha$  über einen längeren Zeitraum einen Zustand von Anorexie und Auszehrung verursacht, die eine ähnliche Symptomatik aufweist wie die Kachexie, die mit neoplastischen und chronischen infektiösen Erkrankungen einhergeht (19).

Es wurde über eine TNF inhibierende Aktivität eines Proteins aus dem Harn von Fieberpatienten berichtet, von dessen Wirkung vermutet wird, daß sie auf einen kompetitiven Mechanismus auf Rezeptorebene selbst (ähnlich der Wirkung des Interleukin-1 Inhibitors (17)) zurückzuführen ist (20).

35 In der EP-A2 3 08 378 wird ein TNF inhibierendes Protein beschrieben, das aus menschlichem Harn gewonnen wurde. Seine Wirkung wurde im Harn gesunder und kranker Personen nachgewiesen und aufgrund der Fähigkeit bestimmt, die Bindung von TNF- $\alpha$  an seine Rezeptoren auf humanen HeLa Zellen und FS 11 Fibroblasten sowie die zytotoxische Wirkung von TNF- $\alpha$  auf murine A9 Zellen zu inhibieren. Das Protein wurde im wesentlichen zur Homogenität gereinigt und durch seinen N-Terminus charakterisiert. In dieser Patentveröffentlichung werden zwar grundsätzlich mögliche Wege dargelegt, zur für das Protein kodierenden DNA und zum rekombinanten Protein zu gelangen; es werden jedoch keine konkreten Angaben gemacht, welcher der theoretisch möglichen Lösungswege zum Ziel führt.

40 In Vorversuchen zur vorliegenden Erfindung konnte aus Dialyseharn von Urämiepatienten ebenfalls ein Protein identifiziert werden, das die biologischen Wirkungen von TNF- $\alpha$  hemmt, indem es durch Wechselwirkung mit TNF- $\alpha$  dessen Bindung an seinen Zelloberflächenrezeptor verhindert (21). Von diesem Protein wurde auch eine Affinität zu TNF- $\beta$  festgestellt.

45 Die Anwesenheit dieses Proteins (im folgenden TNF-BP genannt) im konzentrierten Dialyseharn wurde durch Kompetition mit der Bindung von radioaktiv markiertem rekombinantem TNF- $\alpha$  an einen Subkton von HL-60 Zellen nachgewiesen, wobei der Einfluß von dialysiertem Harn auf die Bindung von  $^{125}\text{I}$ -TNF- $\alpha$  an die Zellen 50 gemessen wurde. Die durchgeführten Bindungsversuche zeigten eine dosisabhängige Hemmung der TNF- $\alpha$ -Bindung an die Zelle durch konzentrierten Dialyseharn (die Möglichkeit der Interpretation, daß die beobachtete Verringerung der Bindung durch gegebenenfalls im Harn vorhandenen TNF- $\alpha$  selbst oder TNF- $\beta$ , der um die Bindung konkurriert, verursacht werden könnte, wurden durch den Befund, daß die Verringerung der Bindung durch Anwendung von TNF- $\alpha$ - und TNF- $\beta$ -Antikörpern nicht aufgehoben werden konnte, ausgeschlossen).

55 In analoger Weise wurde in Vorversuchen zur vorliegenden Erfindung nachgewiesen, daß TNF-BP auch Affinität zu TNF- $\beta$  aufweist, sie beträgt ca. 1/50 seiner Affinität zu TNF- $\alpha$ .

Mittels Gelchromatographie auf Sephadryl 200 wurde festgestellt, daß eine Substanz im Harn und Serum von Dialysepatienten sowie im Serum von gesunden Personen mit rekombinantem TNF- $\alpha$  einen Komplex mit einem Molekulargewicht von ca. 75 000 bildet.

60 TNF-BP wurde aus mehreren Proben Dialyseharn von Urämiepatienten durch partielle Reinigung mittels Druckultrafiltration, Ionenaustauschchromatographie und Gelchromatographie 62fach angereichert.

Die erhaltenen Präparationen wurden zum Nachweis der biologischen Aktivität von TNF-BP durch Hemmung der wachstumsemmenden Wirkung von TNF- $\alpha$  auf HL-60-10 Zellen verwendet. Es zeigte sich eine dosisabhängige Wirkung von TNF-BP auf die biologische Wirkung von TNF- $\alpha$ . Es wurde weiters das Bindungsverhalten von Zellen durch Vorbehandlung mit TNF-BP und ausschließendem Kompetitionsbindungstest untersucht. Dabei wurde nachgewiesen, daß Vorbehandlung der Zellen mit TNF-BP die Bindung von TNF- $\alpha$  an die Zelle nicht beeinträchtigt. Dies zeigt, daß die Wirkung von TNF-BP nicht auf seiner etwaigen Bindung an die Zelle und Konkurrenzierung mit TNF- $\alpha$  um die Bindung an den Rezeptor beruht.

Das im wesentlichen homogene Protein wurde in hochgereinigter Form erhalten, indem Harn von Dialysepatienten durch Ultrafiltration konzentriert, der konzentrierte Harn dialysiert und zunächst in einem ersten Reinigungsschritt mittels DEAE-Sephadex-Chromatographie auf das Vierfache angereichert wurde. Die weitere Anreicherung erfolgte mittels Affinitätschromatographie durch an Sepharose gebundenen TNF- $\alpha$ . Die Endreinigung wurde mittels Reverse Phase Chromatographie (FPLC) durchgeführt.

Es konnte gezeigt werden, daß das im wesentlichen hochgereinigte Protein die zytotoxische Wirkung von TNF- $\alpha$  auf WEHI 164 Klon 13 Zellen hemmt (22).

Vom im wesentlichen hochgereinigten Protein wurde die N-terminale Aminosäuresequenz aufgeklärt. Sie wurde mit Asp-Ser-Val-X-Pro-Gln-Gly-Lys-Tyr-Ile-His-Pro-Gln-(Hauptsequenz) bestimmt (daneben wurde in Spuren die folgende N-terminale Sequenz nachgewiesen: Leu-(Val)-(Pro)-(His)-Leu-Gly-X-Arg-Glu-(Nebensequenz)). Der Vergleich der Hauptsequenz mit der N-terminalen Sequenz des in der EP-A2 3 08 378 geoffneten TNF inhibierenden Proteins zeigt die Identität der beiden Proteine.

Es wurde folgende Aminosäurezusammensetzung, angegeben in Mol-Aminosäure pro Mol Protein und in Mol % Aminosäure, bestimmt als Mittelwert einer 24 und 48 stündigen Hydrolyse, ermittelt:

5

10

15

	Mol Aminosäure/ Mol Protein	Mol-% Aminosäure	
Asp + Asn	27,5	10,9	20
Thr	15,8	6,3	
Ser	20,7	8,2	
Glu + Gln	35,0	13,8	
Pro	9,5	3,8	
Gly	16,0	6,3	25
Ala	4,2	1,7	
Cys	32,3	12,8	
Val	10,8	4,3	
Met	1,1	0,4	
Ile	7,0	2,8	30
Leu	20,2	8,0	
Tyr	6,1	2,4	
Phe	8,1	3,2	
His	11,1	4,4	
Lys	15,7	6,2	35
Arg	11,8	4,7	
Total	252,9	100	

Ein Gehalt an Glukosamin wurde mittels Aminosäureanalyse nachgewiesen. Die Ergebnisse eines mit Concanavalin A und Weizenkeimlektin durchgeführten Affinoblots zeigten ebenfalls, daß es sich bei TNF-BP um ein Glykoprotein handelt.

40

Das im wesentlichen homogene Protein wurde tryptisch verdaut und von 17 der erhaltenen Spaltpeptide die Aminosäuresequenzen bestimmt. Weiters wurde der C-Terminus analysiert.

45

TNF-BP kommt offensichtlich die Funktion eines Regulators der TNF-Aktivität mit der Fähigkeit zu, die Konzentrationsänderungen von freiem, biologisch aktivem TNF- $\alpha$  abzupuffern. TNF-BP dürfte auch die Ausscheidung von TNF durch die Niere beeinflussen, weil der mit TNF gebildete Komplex, dessen Molekulargewicht mittels Gelpermeationschromatographie auf Sephadex G 75 mit ca. 75 000, bestimmt wurde, im Gegensatz zu TNF offensichtlich nicht durch den Glomerulus zurückgehalten wird.

Das TNF-BP wurde aus dem Harn von Dialysepatienten als eine von drei Hauptproteinkomponenten, die Affinität zu TNF aufweisen und die gemeinsam mit TNF-BP von der TNF-Affinitätschromatographiesäule eluieren, nachgewiesen. Die beiden anderen Proteine binden jedoch offensichtlich in einer Weise, die die Bindung von TNF- $\alpha$  an seinen Zelloberflächenrezeptor nicht beeinträchtigt.

50

Die zur biologischen Wirkung des TNF-BP erhaltenen Ergebnisse, insbesondere der Vergleich der Bindungskonstante mit der für den TNF-Rezeptor beschriebenen Bindungskonstante (23) lieferten einen ersten Hinweis dafür, daß es sich bei diesem Protein um den löslichen Teil eines TNF-Rezeptors handeln könnte.

55

Auf Grund seiner Fähigkeit, die biologische Wirkung von TNF- $\alpha$  und TNF-B zu inhibieren, ist das TNF bindende Protein geeignet, bei Indikationen eingesetzt zu werden, bei denen eine Herabsetzung der TNF-Aktivität im Organismus angezeigt ist. Geeignet zur Anwendung bei diesen Indikationen sind auch Derivate oder Fragmente des TNF bindenden Proteins mit der Fähigkeit, die biologische Wirkung von TNF zu inhibieren.

60

TNF-BP (bzw. seine funktionellen Derivate oder aktiven Fragmente) kann zur prophylaktischen und therapeutischen Behandlung des menschlichen oder tierischen Körpers bei Indikationen, bei denen eine schädigende Wirkung von TNF- $\alpha$  auftritt, eingesetzt werden. Zu diesen Erkrankungen zählen insbesondere entzündliche sowie infektiöse und parasitäre Erkrankungen oder Schockzustände, bei denen endogenes TNF- $\alpha$  freigesetzt wird, weiters Kachexie, GVHR und Autoimmunerkrankungen wie Rheumatoide Arthritis, etc. Es sind darunter auch pathologische Zustände zu verstehen, die als Nebenwirkungen bei der Therapie mit TNF- $\alpha$ , besonders bei hoher Dosierung, auftreten können, z.B. schwere Hypotension oder Störungen des Zentralnervensystems.

65

Als Arzneimittel kommen insbesondere pharmazeutische Zubereitungen für die parenterale Anwendung in

Betracht, z.B. in Form von Lyophilisaten oder Lösungen, gegebenenfalls zusammen mit physiologisch verträglichen Zusatzstoffen, wie Stabilisatoren. Auf Grund seiner TNF bindenden Eigenschaften ist TNF-BP auch als Diagnostikum für die Bestimmung von TNF- $\alpha$  und/oder TNF- $\beta$  geeignet, z.B. als eine der Komponenten in Radioimmunoassays oder Enzymimmunoassays, gegebenenfalls zusammen mit Antikörpern gegen TNF.

5 Auf Grund seiner Eigenschaften ist dieses Protein ein pharmakologisch wertvoller Wirkstoff, der aus natürlichen Quellen nicht in ausreichender Menge mittels proteinchemischer Methoden darstellbar ist.

Es bestand daher das Bedürfnis, dieses Protein (bzw. verwandte Proteine mit der Fähigkeit, TNF zu binden) auf rekombinantern Weg herzustellen, um es für die therapeutische Anwendung in ausreichender Menge zur Verfügung zu stellen.

10 Unter der "Fähigkeit, TNF zu binden" ist im Rahmen der vorliegenden Erfindung die Eigenschaft eines Proteins zu verstehen, an TNF- $\alpha$  derart zu binden, daß die Bindung von TNF- $\alpha$  an den funktionellen Teil des Rezeptors verhindert und die Wirkung von TNF- $\alpha$  im menschlichen oder tierischen Organismus gehemmt oder aufgehoben wird. Durch diese Definition ist die Fähigkeit eines Proteins, auch an andere Proteine, z.B. an TNF- $\beta$ , binden und deren Wirkung inhibieren zu können, mit eingeschlossen.

15 Der vorliegenden Erfindung lag die Aufgabe zugrunde, die für TNF-BP kodierende DNA zur Verfügung zu stellen, um auf deren Basis die Herstellung rekombinanter DNA-Moleküle zu ermöglichen, mit denen geeignete Wirtsorganismen transformiert werden können, um TNF-BP bzw. funktionelle Derivate und Fragmente davon zu produzieren.

Im Rahmen dieser Aufgabenstellung sollte auch festgestellt werden, ob es sich beim TNF-BP um den löslichen

20 Teil eines TNF-Rezeptors handelt, um ausgehend davon die Grundlage für die Aufklärung der Rezeptorsequenz zu schaffen und einen rekombinanten TNF-Rezeptor bereitzustellen.

Das Vorhandensein eines spezifischen Rezeptors mit hoher Affinität zu TNF- $\alpha$  auf verschiedenen Zelltypen wurde von mehreren Arbeitsgruppen gezeigt. Kürzlich wurde erstmals von der Isolierung und vorläufigen Charakterisierung eines TNF- $\alpha$  Rezeptors berichtet (32).

25 Da die Bindung von radioaktiv markiertem TNF- $\alpha$  durch einen Überschuß an TNF- $\beta$  aufgehoben werden kann (33), wurde vorgeschlagen, daß TNF- $\alpha$  und TNF- $\beta$  einen gemeinsamen Rezeptor teilen. Da jedoch andererseits gezeigt werden konnte, daß bestimmte Zelltypen, die auf TNF- $\alpha$  ansprechen, gegen TNF- $\beta$  teilweise oder gänzlich unempfindlich sind (34), wurde die Existenz eines gemeinsamen Rezeptors wieder in Zweifel gezogen. Im Gegensatz dazu scheinen kürzlich erhaltene Ergebnisse zu den Bindungseigenschaften von TNF- $\beta$  an Rezeptoren die Theorie eines gemeinsamen Rezeptors wieder zu erhärten (35), wobei in dieser Arbeit vorgeschlagen wird, daß zwischen TNF- $\alpha$  und TNF- $\beta$  Unterschiede hinsichtlich der Wechselwirkung mit dem Rezeptor bzw. zusätzlich hinsichtlich der in der Zelle nach der Ligand-Rezeptorwechselwirkung eintretenden Ereignisse bestehen.

30 Die Verfügbarkeit der für einen TNF-Rezeptor kodierenden DNA stellt die Voraussetzung für die Herstellung von rekombinantern Rezeptor und damit u.a. eine wesentliche Erleichterung für die Durchführung vergleichender Untersuchungen verschiedener Zelltypen auf ihre(n) TNF- $\alpha$ - und/oder TNF- $\beta$  - Rezeptor(en) bzw. auf die durch die Bindung von TNF an den Rezeptor in der Zelle ausgelösten Reaktionen dar. Dadurch wird weiters die Aufklärung der dreidimensionalen Struktur des Rezeptors ermöglicht und damit die Voraussetzung für ein rationales Design für die Entwicklung von Agonisten und Antagonisten der TNF-Wirkung geschaffen.

35 Das Durchsuchen von cDNA-Bibliotheken mit Hilfe von Hybridisierungssonden, die von Aminosäuresequenzen kurzer Peptide abgeleitet sind, stößt auf Grund der Degeneration des genetischen Codes mitunter auf größere Schwierigkeiten. Zusätzlich erschwert wird diese Vorgangsweise dann, wenn von einem Protein, wie z.B. dem TNF-BP, nicht bekannt ist, in welchen Geweben es synthetisiert wird. In diesem Fall kann bei einem Versagen dieser Methode unter Umständen nicht mit Bestimmtheit festgestellt werden, ob es auf die Wahl einer ungeeigneten cDNA-Bibliothek oder auf die zu geringe Spezifität der Hybridisierungssonden zurückzuführen ist.

40 Zur Lösung der gestellten Aufgabe wurde daher erfindungsgemäß wie folgt vorgegangen: Als cDNA-Bibliothek wurde eine Bibliothek der Fibrosarkomzelllinie HS913 T, die mit TNF $\alpha$  induziert worden war und in Lambda gt11 vorlag, eingesetzt. Um aus dieser Bibliothek Lambda DNA mit TNF-BP Sequenzen zu erhalten, wurde die große Empfindlichkeit der Polymerase Kettenreaktion (PCR, (26)) ausgenutzt. (Mit Hilfe dieser Methode kann aus einer gesamten cDNA-Bibliothek eine unbekannte DNA-Sequenz erhalten werden, die flankiert ist von Oligonukleotiden, die auf Basis bekannter Aminosäureteilsequenzen entworfen und als Primer eingesetzt werden. Ein solches längeres DNA-Fragment kann nachfolgend als Hybridisierungssonde, z.B. zur Isolierung von cDNA-Klonen, insbesondere des ursprünglichen cDNA-Klons, eingesetzt werden).

45 Die Aufgabe wurde erfindungsgemäß dadurch gelöst, daß auf Basis der N-terminalen Aminosäuresequenz (Hauptsequenz) und Aminosäuresequenzen von tryptischen Peptiden, die vom hochgereinigten TNF-BP erhalten worden waren, Hybridisierungssonden hergestellt wurden und mit Hilfe dieser Sonden zunächst mittels PCR aus der cDNA-Bibliothek HS913T eine cDNA, die einen Teil der für TNF-BP kodierenden cDNA darstellt, erhalten wurde. Diese cDNA weist die folgende Nukleotidsequenz auf:

50 CAG GGG AAA TAT ATT CAC CCT CAA AAT AAT TCG ATT TGC

TGT ACC AAG TGC CAC AAA GGA ACC TAC TTG TAC AAT GAC

TGT CCA GGC CCG GGG CAG GAT ACG GAC TGC AGG GAG TGT

55 GAG AGC GGC TCC TTC ACA GCC TCA GAA AAC AAC AAG .

Diese DNA stellt eine von möglichen Varianten dar, die geeignet sind, mit TNF-BP-DNAs bzw. TNF-BP-RNAs zu hybridisieren (solche Varianten umfassen z.B. diejenigen DNA-Moleküle, die durch PCR-Amplifikation mit Hilfe von Primern erhalten werden, deren Nukleotidsequenz nicht exakt mit der gesuchten Sequenz übereinstimmt, etwa aufgrund von zu Klonierungszwecken vorgesehenen Restriktionsschnittstellen oder aufgrund von bei der Aminosäuresequenzanalyse etwa nicht eindeutig ermittelten Aminosäuren). 5

Unter "TNF-BP-DNAs" bzw. "TNF-BP-RNAs" sind Nukleinsäuren zu verstehen, die für TNF-BP bzw. verwandte Proteine mit der Fähigkeit, TNF zu binden kodieren bzw. die für ein solches Protein kodierende Sequenz enthalten.

Unter TNF-BP-DNAs (bzw. TNF-BP-RNAs) sind auch cDNAs, abgeleitet von mRNAs, die durch alternatives Splicing entstanden sind (bzw. diese mRNAs selbst), mitumfaßt. Unter "alternativem Splicing" wird die Entfernung von Introns verstanden, bei der vom gleichen mRNA-Precursor verschiedene Spliceacceptor- und/oder Splicedenorstellen verwendet werden. Die dabei entstehenden mRNAs unterscheiden sich voneinander durch das gänzliche oder teilweise Vorhandensein oder Fehlen von bestimmten Exonsequenzen, wobei es gegebenenfalls zu einer Verschiebung des Leserasters kommen kann. 10

Die zunächst erfundungsgemäß erhaltene, einen Teil der für TNF-BP kodierenden Sequenz enthaltende cDNA (bzw. Varianten davon) kann somit als Hybridisierungssonde verwendet werden, um aus cDNA-Bibliotheken cDNA-Klone, enthaltend TNF-BP-DNAs, zu erhalten. Weiters kann sie als Hybridisierungssonde für mRNA-Präparationen eingesetzt werden, um TNF-BP-RNAs zu isolieren und daraus z.B. angereicherte cDNA-Bibliotheken herzustellen, die ein wesentlich vereinfachtes und effizienteres Screening ermöglichen. Ein weiteres Anwendungsbereich ist die Isolierung der gewünschten DNAs aus genomischen DNA-Bibliotheken mit Hilfe dieser DNAs als Hybridisierungssonden. 15

Da die oben definierte DNA (bzw. ihre Varianten) in der Lage ist, mit DNAs (bzw. RNAs) zu hybridisieren, die für TNF-BP kodieren bzw. die für TNF-BP kodierende Sequenz enthalten, können mit Hilfe dieser DNA als Sonde auch cDNAs erhalten werden, die für Proteine kodieren, deren Prozessierung TNF-BP ergibt. Unter Prozessierung ist die in vivo Abspaltung von Teilsequenzen zu verstehen. Dabei kann es sich N-terminal um die Signalsequenz und/oder andere Sequenzen und gegebenenfalls zusätzlich (falls sich die Annahme bestätigt, daß TNF-BP den löslichen Teil eines TNF-Rezeptors darstellt) C-terminal um die transmembrane und zytoplasmatische Region des Rezeptors handeln. Mit Hilfe dieser Hybridisierungssonde ist es daher möglich, geeignete cDNA-Bibliotheken auf das Vorhandensein von cDNA, die die vollständige für einen TNF-Rezeptor kodierende Sequenz enthält, zu durchsuchen (dieser Vorgang kann erforderlichenfalls in mehreren Schritten erfolgen). 20

Erfundungsgemäß wurde die cDNA der oben definierten Sequenz, die mittels PCR aus der cDNA-Bibliothek der TNF- $\alpha$  induzierten Fibrosarkomzelllinie HS913 T (in Lambda gt11), erhalten worden war, zum nochmaligen Durchsuchen der cDNA-Bibliothek verwendet, von den hybridisierenden Klonen die Lambda-DNA präpariert, subkloniert und sequenziert. Es wurde ein 1334 Basen langes cDNA Insert erhalten, das die für TNF-BP kodierende DNA enthält. 25

Die Erfindung betrifft eine DNA, kodierend für ein Polypeptid mit der Fähigkeit, TNF zu binden, bzw. für ein Polypeptid, von dem dieses TNF bindende Protein eine Teilsequenz darstellt.

Darunter sind auch solche DNAs zu verstehen, die für Teile dieser Polypeptide kodieren.

Die vollständige Nukleotidsequenz des längsten erhaltenen cDNA-Inserts ist in Fig. 1 abgebildet.

Diese Nukleotidsequenz weist einen durchgehenden offenen Leserahmen auf, beginnend mit Base 213, bis zum Ende des 1334 bp langen cDNA Inserts. Da sich in demselben Leserahmen 4 Codons vor dem potentiellen Translationsstartcodon ATG (213 – 215) ein Stopcodon (TAG) befindet, kann davon ausgegangen werden, daß es sich bei dem Startcodon tatsächlich um den in vivo verwendeten Translationsstart handelt. 40

Der Vergleich der von der Nukleotidsequenz abgeleiteten Aminosäuresequenz mit den Aminosäuresequenzen, die vom aminoterminalen Ende von TNF-BP und von tryptischen Peptiden bestimmt worden waren, zeigt hohe Übereinstimmung. Daraus ergibt sich, daß die isolierte cDNA die für das authentische TNF-BP kodierende Sequenz enthält. 45

Vom N-Terminus ausgehend ist die erste Sequenz, die eine Übereinstimmung mit einer tryptischen Spaltpeptidsequenz zeigt, die Sequenz von Fraktion 12 (Leu-Val-Pro-...), die auch als Nebensequenz bei der Analyse des N-Terminus von TNF-BP erhalten worden war. Dieses N-terminale Leucin entspricht der 30. Aminosäure in der cDNA Sequenz. Da der vorangehende Abschnitt von 29 Aminosäuren einen stark hydrophoben Charakter aufweist und es sich bei TNF-BP um ein sekretiertes Protein handelt, kann gefolgt werden, daß diese 29 Aminosäuren das für den Sekretionsvorgang benötigte Signalpeptid darstellen, das bei der Sekretion abgespalten wird (in Fig. 1 mit S1 – S29 bezeichnet).

Die als Hauptsequenz bei der N-terminalen Analyse von TNF-BP erhaltene Aminosäuresequenz entspricht den Aminosäuren beginnend mit Asp-12 in der cDNA Sequenz. Dieser Asparaginsäurerest folgt direkt dem basischen Dipeptid Lys-Arg. Da nach diesem Dipeptid in vivo sehr viele Proteine proteolytisch gespalten werden, ist anzunehmen, daß TNF-BP mit N-terminalem Asp nicht direkt durch Prozessierung eines Precursors beim Sekretionsvorgang entsteht, sondern daß vom prozessierten Protein die N-terminalen 11 Aminosäuren zu einem späteren Zeitpunkt durch extrazelluläre Proteasen abgespalten werden. 55

Das carboxy-terminale Ende von TNF-BP war mit Ile-Glu-Asn bestimmt worden (C-terminale Analyse; tryptisches Peptid Fraktion 27: Aminosäuren 159 – 172, tryptisches Peptid Fraktion 21: Aminosäuren 165 – 172), wobei Asn der Position 172 in der cDNA Sequenz entspricht. 60

Potentielle N-Glykosylierungsstellen der allgemeinen Formel Asn-X-Ser/Thr, wobei X jede beliebige Aminosäure außer Prolin sein kann, befinden sich an den Positionen 25 – 27 (Asn-Asn-Ser), 116 – 118 (Asn-Cys-Ser) und 122 – 124 (Asn-Gly-Thr) der TNF-BP cDNA Sequenz. (Daß Asn-25 glykosyliert ist, ergibt sich daraus, daß bei der Sequenzierung des entsprechenden tryptischen Spaltpeptids an dieser Stelle Asn nicht identifiziert werden konnte.) 65

Die Analyse der Nukleotid — bzw. der davon abgeleiteten Aminosäuresequenz im Zusammenhang mit den durchgeführten proteinchemischen Untersuchungen zeigt, daß es sich bei TNF-BP um ein glykosyliertes Polypeptid mit 172 Aminosäuren, das durch proteolytische Spaltung nach der 11. Aminosäure in ein Glykoprotein mit 161 Aminosäuren umgewandelt wird, handelt.

5 Die nachfolgende Tabelle zeigt die sequenzierten tryptischen Peptide und die aus der cDNA Sequenz abgeleiteten korrespondierenden Aminosäuresequenzen:

	Faktion	Aminosäuren	
10	12	1 — 8	
	1	12 — 19	
	8	20 — 32	
15	14/I	36 — 48	
	20	36 — 53	
	11	54 — 67	(Aminosäuren 66 — 67 waren am Peptid nicht korrekt bestimmt worden)
	14/II	79 — 91	
20	26	133 — 146	
	5	147 — 158	
	27	159 — 172	

Die erhaltene cDNA stellt die Voraussetzung für die Herstellung von rekombinanem TNF-BP dar.

25 Gegenstand der Erfindung ist somit weiters die für, vorzugsweise sekretierbares, TNF-BP kodierende DNA. Durch Einbringen eines DNA-Konstruktes enthaltend die für TNF-BP kodierende Sequenz mit einer für ein Signalpeptid kodierenden Sequenz unter Kontrolle eines geeigneten Promoters in geeignete Wirtsorganismen, zweckmäßigerweise in eukaryotische, bevorzugt höhere eukaryotische Zellen, kann TNF-BP produziert werden, das in den Zellüberstand sekretiert wird.

30 Im Falle der Verwendung eines Signalpeptids im Hinblick auf die Sekretion des Proteins wird zweckmäßigerweise die für das Signalpeptid kodierende DNA vor das Codon für Asp-12 gefügt, um ein einheitliches Produkt zu erhalten. Grundsätzlich ist jedes Signalpeptid geeignet, das im entsprechenden Wirtsorganismus die Sekretion des reifen Proteins gewährleistet. Gegebenenfalls kann die Signalsequenz auch vor das für Leu-1 kodierende Triplet gesetzt werden, wobei in diesem Fall erforderlich sein kann, die durch Abspaltung des aus 11 Aminosäuren bestehenden Peptids am N-Terminus entstehende Form von TNF-BP vom nicht oder nicht

35 vollständig prozessierten TNF-BP in einem zusätzlichen Reinigungsschritt zu trennen. Da die cDNA nach dem Codon für Asn-172, das aufgrund der C-terminalen Analyse den C-Terminus darstellt, kein Stopcodon enthält, wird zweckmäßigerweise im Hinblick auf die Expression von TNF-BP nach dem Codon für Asn 172 durch gerichtete Mutagenese ein Translationsstopcodon eingeführt.

40 Die für TNF-BP kodierende DNA kann durch Mutation, Transposition, Deletion, Addition oder Verkürzung modifiziert werden, sofern derartig modifizierte DNAs für (Poly) peptide mit der Fähigkeit, TNF zu binden, kodieren. Derartige Modifikationen können z.B. darin bestehen, eine oder mehrere der potentiellen, gegebenenfalls für die biologische Aktivität nicht erforderlichen Glykosylierungsstellen zu verändern, indem z.B. das Asn-Codon durch ein für eine andere Aminosäure kodierendes Triplet ersetzt wird. Unter Berücksichtigung der Erhaltung der biologischen Aktivität können auch Modifikationen vorgenommen werden, die in einer Änderung der Disulfidbrücken (z.B. Verringerung deren Anzahl) resultieren.

45 Die angeführten DNA-Moleküle stellen somit die Voraussetzung für die Konstruktion rekombinanter DNA-Moleküle dar, die ebenfalls Gegenstand der Erfindung sind. Mit solchen rekombinanten DNA-Molekülen in Form von Expressionsvektoren, enthaltend die für ein Protein mit TNF-BP Aktivität kodierende, gegebenenfalls in geeigneter Weise modifizierte DNA, vorzugsweise mit einer vorgesetzten Signalsequenz, und die für die Expression des Proteins erforderlichen Kontrollsequenzen, können geeignete Wirtsorganismen transformiert, gezüchtet und das Protein gewonnen werden.

50 Ebenso wie etwaige Modifikationen der DNA-Sequenz erfolgt die Auswahl von für die Expression geeigneten Wirtsorganismen insbesondere im Hinblick auf die biologische Wirkung des Proteins, TNF zu binden. Darüberhinaus gehen die bei der Herstellung rekombinanter Proteine üblichen Kriterien wie Verträglichkeit mit dem gewählten Vektor, Prozessierungsfähigkeit, Isolierung des Proteins, Expressionscharakteristika, Sicherheits- und Kostenaspekte in die Entscheidung über den Wirtsorganismus ein. Die Wahl eines geeigneten Vektors ergibt sich aus dem für die Transformation vorgesehenen Wirt. Grundsätzlich sind alle Vektoren geeignet, die die erfundungsgemäßen für TNF-BP kodierenden DNAs (bzw. Modifikationen davon) replizieren und exprimieren.

55 Im Hinblick auf die biologische Aktivität des Proteins ist bei der Expression der für TNF-BP kodierenden DNA vor allem der etwaigen Relevanz der beim natürlichen Protein festgestellten Kriterien Glykosylierung und hoher Anteil an Cysteinresten für die Eigenschaft, TNF zu binden, Rechnung zu tragen. Zweckmäßig werden daher für die Expression Eukaryonten insbesondere geeignete Expressionssysteme höherer Eukaryonten, verwendet.

60 Auf Grund ihrer Fähigkeit, TNF zu binden, sind die erfundungsgemäßen rekombinanten Polypeptide geeignet, bei der prophylaktischen und therapeutischen Behandlung des menschlichen oder tierischen Körpers bei Indikationen eingesetzt zu werden, bei denen eine schädigende Wirkung von TNF- $\alpha$  auftritt.

Da beim TNF-BP auch eine TNF- $\beta$  inhibierende Wirkung nachgewiesen wurde, kann es (bzw. die verwandten

bzw. modifizierten Polypeptide) in geeigneter Dosierung, gegebenenfalls in im Hinblick auf eine gesteigerte Affinität zu TNF- $\beta$  modifizierter Form, auch für die Inhibierung der Wirkung von TNF- $\beta$  im Organismus verwendet werden.

Gegenstand der Erfindung sind daher weiters pharmazeutische Zubereitungen, enthaltend eine die biologische Wirkung von TNF- $\alpha$  und/oder TNF- $\beta$  wirksam hemmende Menge von TNF-BP bzw. einem verwandten Polypeptid mit der Fähigkeit, TNF zu binden. 5

Die cDNA enthält, wie bereits erwähnt, nach dem Codon für Asn-172 nicht das Stopcodon, das aufgrund der Analyse des C-Terminus zu erwarten wäre, sondern der offene Leserahmen wird fortgesetzt. Die Region zwischen Val-183 und Met-204 hat einen stark hydrophoben Charakter. Dieser hydrophobe Bereich von 22 Aminosäuren, gefolgt von einem Abschnitt mit einem Gehalt an positiv geladenen Aminosäuren (Arg-206, Arg-209) weist die typischen Merkmale einer Transmembrandomäne auf, die Proteine in der Zellmembran verankert. Der in Richtung C-Terminus folgende Proteinanteil ist dagegen wieder stark hydrophil. 10

Das Hydrophobitätsprofil ist in Fig. 2 abgebildet (der Hydrophobitätsplot wurde mit Hilfe des Mac Molly Programms (Fa. Soft Gene Berlin) erstellt; die Fensterweite für die Berechnung der Werte betrug 11 Aminosäuren. Hydrophobe Bereiche entsprechen positiven, hydrophile Bereiche negativen Werten auf der Ordinate. Auf der Abszisse ist die Zahl der Aminosäuren, beginnend mit dem Startmethionin S1, dargestellt). 15

Aus der Proteinstruktur ergibt sich, daß die für das lösliche, sekretierte TNF-BP kodierende DNA Teil einer für ein größeres Protein kodierenden DNA ist: Dieses Protein weist die Merkmale eines in der Zellmembran verankerten Proteins auf, enthält TNF-BP in für eine extrazelluläre Domäne typische Weise und weist einen beträchtlichen für zytoplasmatische Domänen typischen Abschnitt auf. Lösliches TNF-BP wird offensichtlich von dieser membrangebundenen Form durch proteolytische Spaltung knapp außerhalb der Transmembrandomäne erhalten. 20

Die Struktur des von der erhaltenen cDNA kodierten Proteins im Zusammenhang mit der Fähigkeit von TNF-BP, TNF zu binden, bestätigen die Annahme, daß es sich bei TNF-BP um einen Teil eines zellulären Oberflächenrezeptors für TNF handelt, dessen extrazelluläre, für die Bindung von TNF verantwortliche Domäne proteolytisch abgespalten werden kann und in Form des löslichen TNF-BP wiedergefunden wird. (Dabei soll nicht ausgeschlossen werden, daß im Hinblick auf die Funktionsfähigkeit des Rezeptors dieses Protein gegebenenfalls mit einem oder mehreren anderen Proteinen assoziiert ist.) (Für Zwecke der Produktion von TNF-BP in größerem Maßstab wird vorteilhafterweise nicht von der gesamten cDNA ausgegangen, weil das Erfordernis der Abspaltung von TNF-BP von dem Teil des Proteins, das den membrangebundenen Teil des TNF-Rezeptors darstellt, berücksichtigt werden müßte. Es wird vielmehr, wie bereits angeführt, zweckmäßigerweise nach dem Codon für Asn-172 durch gerichtete Mutagenese ein Translationsstopcodon eingeführt, um eine über das C-terminale Ende von TNF-BP hinausgehende Proteinsynthese zu verhindern.) 25

Mit der erfindungsgemäß erhaltenen cDNA, die eine Teilsequenz der für einen TNF-Rezeptor kodierenden DNA darstellt, gelangt man zur vollständigen Rezeptorsequenz, indem z.B. mittels modifizierter PCR (RACE = "rapid amplification of cDNA ends" (36)) das fehlende 3'-Ende mit Hilfe eines Primers, der aufgrund einer möglichst weit in Richtung 3'-Ende der vorhandenen cDNA gelegenen Sequenz konstruiert wurde, amplifiziert wird. 30

Eine alternative Methode besteht im konventionellen Screenen der cDNA-Bibliothek mit der verfügbaren cDNA bzw. Teilen davon als Sonde. 35

Gegenstand der Erfindung ist somit weiters die für einen TNF-Rezeptor kodierende DNA, die den in vivo translatierten Abschnitt der erfindungsgemäß erhaltenen cDNA bzw. degenerierte Varianten davon enthält. Damit sind auch DNAs mitumfaßt, die für C- und/oder N-terminal verkürzte, z.B. prozessierte, oder für modifizierte (z.B. durch Änderungen an proteolytischen Spaltstellen, Glykosylierungsstellen oder bestimmten Domänenbereichen) Formen bzw. für Fragmente, z.B. die verschiedenen Domänen, des TNF-Rezeptors kodieren. 40

Diese DNAs können in Verbindung mit den für die Expression erforderlichen Kontrollsequenzen als Bestandteil rekombinanter DNA-Moleküle zur Transformation von prokaryotischen oder eukaryotischen Wirtsorganismen verwendet werden. Dadurch wird einerseits die Voraussetzung geschaffen, den TNF-Rezeptor in größeren Mengen auf rekombinantem Weg herzustellen, um z.B. die Aufklärung seiner dreidimensionalen Struktur zu ermöglichen. Andererseits können mit diesen DNAs höhere eukaryotische Zellen transformiert werden, um Studien über Mechanismen und Dynamik der TNF/Rezeptor-Wechselwirkung, der Signalübertragung bzw. über die diesbezügliche Relevanz der verschiedenen Rezeptordomänen bzw. Abschnitten davon zu erhalten. Der rekombinante TNF-Rezeptor (bzw. Fragmente oder Modifikationen davon) kann dazu verwendet werden, Substanzen auf ihre Wechselwirkung mit TNF oder den TNF-Rezeptor bzw. auf ihren Einfluß auf die durch TNF induzierte Signalübertragung zu untersuchen. Derartige Screenings (unter Verwendung der Proteine/Fragmente bzw. von entsprechend transformierten höheren eukaryotischen Zellen) schaffen die Voraussetzung für die Identifizierung von Substanzen, die TNF substituieren, seine Bindung an den Rezeptor hemmen bzw. solche, die den Mechanismus der durch TNF ausgelösten Signalübertragung blockieren oder verstärken können. 45

Im Rahmen der vorliegenden Erfindung mitumfaßt sind auch Nukleinsäuren, die nicht für TNF-BP oder den Rezeptor kodieren, die jedoch unter Bedingungen niedriger Stringenz mit der erfindungsgemäß erhaltenen cDNA hybridisieren. 50

Im einzelnen wurde die gestellte Aufgabe wie folgt gelöst: Vom hochgereinigten TNF-BP wurden die N-terminale Aminosäuresequenz sowie die Aminosäuresequenzen von durch tryptischen Verdau des Proteins erhaltenen Peptiden bestimmt. 55

Weiters wurde der C-Terminus durch Carboxypeptidase P Verdau, Derivatisierung der abgespaltenen Aminosäuren und chromatographische Auftrennung bestimmt.

Aus den durch tryptischen Verdau erhaltenen Peptidsequenzen wurden im Hinblick auf ihren Einsatz in der PCR für die Herstellung von Oligonukleotiden Bereiche einerseits aus dem N-Terminus und andererseits aus

einem tryptischen Peptid derart ausgewählt, daß die Komplexität von Mischoligonukleotiden für die Hybridisierung mit cDNA möglichst gering ist. Auf Basis dieser beiden Bereiche wurde je ein Satz Mischoligonukleotide hergestellt, wobei der vom N-terminal gelegenen Bereich abgeleitete entsprechen der mRNA und der vom tryptischen Peptid abgeleitete revers komplementär zur mRNA synthetisiert wurde. Um das nachfolgende 5 Klonieren eines mit PCR amplifizierten Segments zu erleichtern, wurde der vom tryptischen Peptid abgeleitete Satz von Oligonukleotiden mit einer BamHI-Restriktionsstelle versehen. Darauf wurde Lambda-DNA aus der TNF- $\alpha$  induzierten Fibrosarkom cDNA-Bibliothek isoliert und daraus eine TNF-BP-Sequenz mittels PCR amplifiziert. Das erhaltene Fragment wurde kloniert und sequenziert; es weist 158 Nukleotide auf und enthält 10 zwischen den beiden von den Primer Oligonukleotiden stammenden Sequenzabschnitten die für das tryptische Peptid 20 kodierende Sequenz.

Dieses DNA-Fragment wurde nachfolgend radioaktiv markiert und als Sonde zur Isolierung von cDNA-Klonen aus der Fibrosarkom-Bibliothek verwendet. Es wurde dazu so verfahren, daß zunächst Plaques mit der Sonde hybridisiert, Phagen von hybridisierenden Plaques vereinzelt und daraus Lambda DNA gewonnen wurden. Einzelne cDNA-Klonen wurden subkloniert und sequenziert; zwei der charakterisierten Klonen enthielten 15 die für TNF-BP kodierende Sequenz.

Die Erfindung wird an Hand der folgenden Vorversuche und Beispiele näher erläutert:

#### Vorversuch 1

##### Herstellung von hochgereinigtem TNF-BP

###### a) Konzentration des Harns

20 1 Dialyseharn von Urämiepatienten, aufbewahrt in Flaschen enthaltend EDTA (10 g/l), Tris (6 g/l), Na<sub>3</sub> (1 g/l) und Benzamidinhydrochlorid (1 g/l) sowie kühlgelagert, wurden durch Ultrafiltration mittels einem 25 hochdurchlässigen Hämokapillarfilter mit einer asymmetrischen Hohlfasermembran (FH 88H, Gambro) auf 4,2 l mit einem Proteingehalt von 567 g konzentriert. Der konzentrierte Harn wurde gegen 10 mM/l Tris HCl, pH 8 dialysiert. Während dieses Vorgangs wurde, wie in den nachfolgenden Schritten (außer bei der Reverse Phase Chromatographie), 1 mM/l Benzamidinhydrochlorid zugefügt, um proteolytischem Verdau 30 entgegenzuwirken. Alle nachfolgenden Reinigungsschritte wurden, wenn nicht anders angegeben, bei 4°C durchgeführt.

###### b) Ionenaustauschchromatographie

Dieser Schritt wurde durchgeführt indem DEAE-Sephadex-Säulen (2,5 x 40 cm) mit Proben konzentrierten 35 und dialysierten Harns, enthaltend je ca. 75 g Protein, beschickt wurden. Eluiert wurde mit 800 ml eines NaCl/10 mM Tris/HCl pH-8-Gradienten, wobei die NaCl Konzentration 0 bis 0,4 M betrug. Die das TNF-BP enthaltenden Fraktionen von sieben Säulen mit einem Gesamtproteingehalt von 114 g wurden bei -20°C gelagert.

###### c) Affinitätschromatographie

Zur Herstellung der TNF-Sepharosesäule wurde rTNF- $\alpha$  (15 mg) in 0,1 M NaHCO<sub>3</sub>, 1 M NaCl, pH 9 (Kopplungspuffer) an 1,5 g cyanogenbromidaktivierte Sepharose 4B (Pharmacia) gekoppelt. Die Sepharose 40 wurde in 1 mM HCl gequollen und mit Kopplungspuffer gewaschen. Nach Zusatz von rTNF- $\alpha$  wurde die Suspension 2 Stunden lang bei Raumtemperatur rotieren gelassen. Der Überschuß an CNBr-Gruppen wurde durch eineinhalbstündige Rotation mit 1 M Ethanolamin, pH 8 blockiert. Die TNF-Sepharose wurde einige Male abwechselnd in 1 M NaCl, 0,1 M Natriumacetat pH 8 und 1 M NaCl, 0,11 M Borsäure pH 4 gewaschen und anschließend in phosphatgepufferter Kochsalzlösung mit 1 mM Benzamidinhydrochlorid 45 gelagert. Die aus Schritt b) erhaltenen Fraktionen wurden auf eine Konzentration von 0,2 M NaCl, 10 mM Tris/HCl, pH 8 eingestellt. Die TNF-Sepharose wurde in eine Säule gepackt und mit 0,21 M NaCl, 10 mM Tris HCl, pH 8 gewaschen und die TNF-BP enthaltenden Fraktionen, entsprechend ca. 30 g Protein, bei einer Durchflußrate von 10 ml/h aufgetragen und ausgiebig mit 0,2 M NaCl, 10 mM Tris HCl, pH 8 gewaschen, bis im Eluat bei 280 nm keine Absorption mehr nachweisbar war. Anschließend wurde TNF-BP mit 50 0,2 M Glycin/HCl, pH 2,5 eluiert.

TNF-BP enthaltende Fraktionen aus 4 Auftrennungen wurden vereinigt und nach Zusatz von Polyethylenglykol (MG 6000) — bis zu einer Endkonzentration von 10 mg/ml — lyophilisiert. Die lyophilisierte Probe wurde in 55 destilliertem Wasser gelöst und gegen destilliertes Wasser dialysiert. (Die dialysierte Probe (4 ml) wurde in tiefgefrorenem Zustand gelagert.)

Dieser Reinigungsschritt brachte gegenüber dem vorangegangenen eine weitere Anreicherung um das ca. 9000fache. SDS-PAGE (durchgeführt, wie in Vorversuch 2 beschrieben) der TNF-BP enthaltenden Fraktionen zeigte die Elution von drei Hauptkomponenten mit Molekulargewichten von 28 000, 30 000 und 50 000.

###### d) Reverse Phase Chromatographie

Ein aliquoter Anteil (1 ml) der aus Schritt c) erhaltenen Fraktionen mit einem Zusatz von 0,1% Trifluoresigsäure wurde auf eine ProRPC HR 5/10 Säule (Pharmacia), die an ein FPLC-System (Pharmacia) angeschlossen war, aufgetragen. Die Säule wurde mit 0,1%iger Trifluoresigsäure equilibriert und bei Raumtemperatur mit einem linearen 15 ml Gradienten von 10 Vol% bis 50 Vol% Acetonitril, enthaltend 60 0,1% Trifluoresigsäure, beschickt; die Durchflußrate betrug 0,3 ml/min. Fraktionen von 0,5 ml wurden gesammelt und die Absorption bei 280 nm sowie die Aktivität des TNF- $\alpha$  bindenden Proteins mit Hilfe des Kompetitionsbindungs-Test, wie im Beispiel 1 angegeben, bestimmt, wobei jeweils 0,01 µl Probe verwendet wurden. TNF-BP eluierte als ein einziger Aktivitätspeak entsprechend einem scharfen UV-Absorptionspe- 65

ak.

Dieser letzte Reinigungsschritt brachte eine Zunahme der spezifischen Aktivität um das ca. 29fache, die Gesamtzunahme an Aktivität gegenüber dem Ausgangsmaterial (konzentrierter Dialyseharn) betrug das ca. 1,1  $\times 10^6$ fache.

SDS-PAGE der reduzierten und nicht reduzierten Probe, durchgeführt wie in Vorversuch 2 angegeben, ergab eine diffuse Bande, die auf das Vorhandensein eines einzigen Polypeptids mit einem Molekulargewicht von ca. 30 000 hinwies. Das diffuse Erscheinungsbild der Bande kann auf das Vorliegen einer oder mehrerer heterogener Glykosylierungen und/oder eines zweiten, in geringer Menge vorhandenen Polypeptids zurückzuführen sein. Die Annahme, dabei könnte es sich um ein Polypeptid mit dem in Vorversuch 3d als Nebensequenz bestimmten N-Terminus handeln, das gegenüber TNF-BP am N-Terminus verlängert ist, wurde durch die Sequenz der cDNA bestätigt, wonach zwischen der Signalsequenz und Asn (Pos. 12) ein Abschnitt von 11 Aminosäuren vorliegt, dessen Sequenz mit der N-terminalen Nebensequenz übereinstimmt und der offensichtlich vom prozesierten Protein abgespalten wird.

### Vorversuch 2

#### SDS-Polyacrylamidgelektrophorese (SDS-PAGE)

SDS-PAGE wurde nach der Methode von Laemmli (24) auf 18 cm langen, 16 cm breiten und 1,5 mm dicken Flachgelen mit 10 Taschen mittels einer LKB 2001 Elektrophorese-Einheit durchgeführt. Der Proteingehalt der Proben aus den Reinigungsschritten c) und d) (Vorversuch 1) wurde mittels Bio-Rad Protein Assay bestimmt bzw. aus der Absorption bei 280 nm berechnet, wobei einer Absorption von 1,0 ein Gehalt von 1 mg TNF-BP/ml zugeordnet wurde.

Die Proben, enthaltend ca. 25 µg Protein (aus Vorversuch 1c) bzw. ca. 5 µg (aus 1d) in reduzierter ( $\beta$ -Mercaptoethanol) und nicht reduzierter Form wurden auf ein 3%iges Sammelgel und ein 5 bis 20%iges lineares Polyacrylamidgradientengel aufgetragen. Die Elektrophorese wurde bei 25 mA/Gel ohne Kühlung gefahren. Als Molekulargewichtsmarker (Pharmacia) wurden Phosphorylase B (MG 94 000), Rinderserumalbumin (MG 67 000), Ovalbumin (MG 43 000), Karboanhydrase (MG 30 000), Sojabohnen-Trypsininhibitor (MG 20 100) und a-Laktalbumin (MG 14 400) verwendet. Die Gele wurden mit Coomassie Blue in 7%iger Essigsäure/40%igem Ethanol gefärbt und in 7%iger Essigsäure/25%igem Ethanol entfärbt.

Das Ergebnis der SDS-PAGE zeigte TNF-BP als Polypeptidkette mit einem Molekulargewicht von ca. 30 000.

### Vorversuch 3

#### a) Probenvorbereitung

15 µg des nach Vorversuch 1d) gereinigten Proteins wurden über Reverse Phase HPLC entsalzt und weiter gereinigt. Dazu wurden eine Bakerbond WP C18 Säule (Baker; 4,6 x 250 mm) und 0,1%ige Trifluoressigsäure in Wasser (Eluens A) bzw. in Acetonitril (Eluens B) als mobile Phase verwendet. Die Gradientensteigerung betrug 20 bis 68% Eluens B in 24 min. Die Detektion erfolgte parallel bei 214 nm und bei 280 nm. Die TNF-BP enthaltende Fraktion wurde gesammelt, getrocknet und in 75 µl 70%iger Ameisensäure gelöst und direkt für die Aminosäuresequenzanalyse verwendet.

#### b) Aminosäuresequenzanalyse

Die automatische Aminosäuresequenzanalyse wurde mit einem Applied Biosystems 477 A Flüssigphasensequenator durch On-line Bestimmung der freigesetzten Phenylthiohydantoin-Derivate mittels Applied Biosystems Analysator, Modell 120 A PTH, durchgeführt.

Sie ergab die folgende N-terminale Sequenz als Hauptsequenz (ca. 80% der Proteinmenge): Asp-Ser-Val-X-Pro-Gln-Gly-Lys-Tyr-Ile-His-Pro-Gln.

Daneben war folgende Nebensequenz nachzuweisen: Leu-(Val)-(Pro)-(His)-Leu-Gly-X-Arg-Glu-. (Die in Klammer stehenden Aminosäuren konnten nicht eindeutig identifiziert werden.)

### Vorversuch 4

#### SDS-PAGE

Die Probenvorbereitung wurde wie im Vorversuch 3 durchgeführt mit dem Unterschied, daß die Probenmenge 10 µg betrug. Die Probe wurde in 50 µl Wasser aufgenommen und in 4 Portionen geteilt. Einer der vier aliquoten Teile wurde zur Reinheitsbestimmung mittels SDS-PAGE nach der Methode von Laemmli (24) mit DTT (Dithiothreitol) reduziert und auf Minigelen (Höfer, 55 x 80 x 0,75 mm, 15%) getrennt; als Molekulargewichtsmarker wurde der im Vorversuch 8 angegebene verwendet. Die Färbung erfolgte nach der Methode von Oakley (25). Das Elektropherogramm ist in Fig. 9 dargestellt. Es zeigt eine einzige Bande bei einem Molekulargewicht von ca. 30 000.

### Beispiel 1

#### a) Tryptic Peptide Mapping

Etwa 60 µg des nach Vorversuch 1d) gereinigten Proteins wurden über Reverse Phase HPLC entsalzt und damit weiter gereinigt. Dazu wurden eine Bakerbond WP C18 Säule (Baker; 4,6 x 250 mm) und 0,1%ige

Trifluoressigsäure in Wasser (Eluens A) bzw. in Acetonitril (Eluens B) als mobile Phase verwendet. Die Gradientensteigerung betrug 20 bis 68% Eluens B in 24 min. Die Detektion erfolgte parallel bei 214 nm und bei 280 nm. Die TNF-BP enthaltende Fraktion (Retentionszeit etwa 13,0 min) wurde gesammelt, getrocknet und in 60 µl 1%igem Ammoniumbicarbonat gelöst.

5 Dieser Lösung wurden 1% w/w, entsprechend 0,6 µg Trypsin (Boehringer Mannheim) zugesetzt und die Reaktionsmischung 6 Stunden bei 37°C inkubiert. Danach wurden nochmals 1% w/w Trypsin zugesetzt und die Inkubation über Nacht fortgesetzt.

10 Zur Reduktion der Disulfidbrücken wurde der Reaktionsansatz anschließend mit 60 µl 6 M Harnstoff und mit 12 µl 0,5 M Dithiothreitol versetzt und 2 Stunden bei Raumtemperatur stehengelassen.

15 Die Auftrennung der entstandenen tryptischen Spaltpeptide erfolgte über Reverse Phase HPLC, wobei eine Delta Pak C18 Säule (Waters, 3,9 x 150 mm, 5 µm Teilchendurchmesser, 100 Å Porendurchmesser) bei 30°C und 0,1%ige Trifluoressigsäure in Wasser (Eluens A) bzw. in Acetonitril (Eluens B) als mobile Phase verwendet wurden. Die Gradientensteigerung betrug 0 bis 55% Eluens B in 55 min, danach wurde 55% B für 15 min beibehalten. Die Flußrate betrug 1 ml/min, die Detektion erfolgte parallel bei 214 nm (0,5 AUFS) und bei 280 nm (0,05 AUFS).

b) Sequenzanalyse von tryptischen Peptiden

20 Einige der nach a) gewonnenen tryptischen Spaltpeptide von TNF-BP wurden der automatischen Aminosäuresequenzanalyse unterworfen. Dazu wurden die entsprechenden Fraktionen aus der Reverse Phase HPLC gesammelt, getrocknet und in 75 µl 70%iger Ameisensäure gelöst. Diese Lösungen wurden direkt für die Sequenzierung in einem Applied Biosystems 477 A Pulsed Liquid Phase Sequenator eingesetzt. Tab. 1 enthält die Ergebnisse der Sequenzanalyse der tryptischen Peptide, wobei die in Klammern angeführten Aminosäuren nicht mit Sicherheit nachgewiesen werden konnten. Die Angabe "X" bedeutet, daß an dieser Stelle die Aminosäure nicht identifiziert werden konnte.

25 In der Fraktion 8 konnte die Aminosäure in Position 6 nicht identifiziert werden. Die Sequenz -X-N-S- für die Position 6 – 8 läßt vermuten, daß die Aminosäure 6 in glykosylierter Form vorliegt.

In der Fraktion 17 konnte die Aminosäure in Position 6 ebenfalls nicht identifiziert werden. Die Sequenz -X-N-S- (bereits in Fraktion 8 auftretend) für die Positionen 6 bis 8 läßt vermuten, daß die Aminosäure 6 in glykosylierter Form vorliegt.

30 Fraktion 8; bei Fraktion 17 dürfte es sich somit um ein Peptid handeln, das durch unvollständige tryptische Spaltung entstanden ist.

Auffallend ist die Identität der Fraktion 21 mit den Positionen 7 bis 14 der Fraktion 27. Sowohl in Fraktion 21 als auch in Fraktion 27 bricht die Sequenz nach der Aminosäure Asparagin (Position 8 bzw. 14) plötzlich ab,

35 Asparagin (Position 8 in Fraktion 21 bzw. Position 14 in Fraktion 27) die C-terminale Aminosäure von TNF-BP sein könnte.

Auffallend ist die weitgehende Identität der Sequenz der nur in geringer Menge auftretenden Fraktion 12 mit der in Vorversuch 10 bestimmten Nebensequenz des N-Terminus. Daß die Proteine der Haupt- und Nebensequenz auf einer analytischen Reverse Phase HPLC-Säule (Vorversuch 3b) nicht trennbar waren, lieferte einen Hinweis dafür, daß es sich bei dem Protein mit der Nebensequenz um eine am N-Terminus verlängerte Form des

40 TNF-BP handelt, die durch Prozessierung zum Großteil in das Protein mit der Hauptsequenz überführt wird.

Tabelle 1

45 Aminosäuresequenzen der analysierten tryptischen Peptide von TNF-BP

Fraktion	Aminosäuresequenz
1	D-S-V-C-P-Q-G-K
2	X-X-L-S-(C)-S-K
3	D-T-V-(C)-G-(C)-R
4	E-N-E-(C)-V-S-(C)-S-N-(C)-K
5	E-N-E-(C)-V-S-(C)-(S)-N-(C)-K-(K)
8	Y-I-H-P-Q-X-N-S-I-X-X-X-K
11	E-C-E-S-G-S-F-T-A-S-E-N-(N)-(K)
12	L-V-P-H-L-G-D-R
13	K-E-M-G-Q-V-E-I-S-S-(C)-T-V-D-(R)
14/I	G-T-Y-L-Y-N-D-C-P-G-P-G-Q-
60 14/II	(E)-M-G-Q-V-(E)-(I)-(S)-X-X-X-(V)-(D)-
15	K-E-M-G-Q-V-E-I-S-S-(C)-T-V-D-R-D-T-V-(C)-G-
17	Y-I-H-P-Q-X-N-S-I-(C)-(C)-T-K-(C)-H-K-G-X-Y-
20	G-T-Y-L-Y-N-D-C-P-G-P-G-Q-D-T-X-X-R
21	L-(C)-L-P-Q-I-E-N
26	Q-N-T-V-(C)-T-X-(H)-A-G-F-(F)-L-(R)
27	S-L-E-(C)-T-K-L-(C)-L-P-Q-I-E-N

## Beispiel 2

## Analyse des C-Terminus

Diese Analyse wurde nach dem Prinzip der in (31) beschriebenen Methode durchgeführt.

Etwa 60 µg des nach Vorversuch 2d) gereinigten Proteins wurden über Reverse Phase HPLC entsalzt und damit weiter gereinigt. Dazu wurden eine Bakerbond WP C18 Säule (Baker; 4,6 x 250 mm) und 0,1%ige Trifluoressigsäure in Wasser (Eluens A) bzw. in Acetonitril (Eluens B) als mobile Phase verwendet. Die Gradientensteigerung betrug 20 bis 68% Eluens B in 24 min. Die Detektion erfolgte parallel bei 214 nm und bei 280 nm. Die TNF-BP enthaltende Fraktion (Retentionszeit etwa 13,0 min) wurde gesammelt, getrocknet und in 120 µl 10 mM Natriumacetat (auf pH 4 gestellt mit 1 N HCl) gelöst.

Dieser Lösung wurden 6 µl Brij 35 (10 mg/ml in Wasser) sowie 1,5 µl Carboxypeptidase P (0,1 mg/ml in Wasser, Boehringer Mannheim, Nr. 8 10 142) zugesetzt. Das entspricht einem Gewichtsverhältnis Enzym zu Protein von 1 zu 400 (36).

Sofort nach Zusatz des Enzyms wurde eine Probe von 20 µl der Reaktionsmischung entnommen und darin die enzymatische Reaktion durch Ansäuern mit 2 µl konzentrierter Trifluoressigsäure und durch Gefrieren bei -20°C unterbrochen.

Die Reaktionsmischung wurde im Kühlschrank (ca. 8°C) stehengelassen und Proben zu je 20 µl nach 10, 20, 60 und 120 Minuten entnommen. Der Rest der Reaktionsmischung wurde weitere 120 Minuten bei Raumtemperatur belassen. Alle Proben wurden sofort nach der Entnahme durch Zusatz von 2 µl konzentrierter Trifluoressigsäure angesäuert und bei -20°C eingefroren, wodurch die enzymatische Reaktion unterbrochen wurde.

Parallel zum beschriebenen Probenansatz mit etwa 60 µg TNF-BP wurde unter identischen Bedingungen ein Reagentienblindwert angesetzt, dem kein Protein zugesetzt worden war.

Nach der letzten Probennahme wurden alle Proben 30 Minuten lang in einem Speed Vac Concentrator getrocknet, mit 10 µl einer Lösung aus 2 Teilen Äthanol, 2 Teilen Wasser und 1 Teil Triäthylamin (= "Redrying solution" des Picotag-Aminosäureanalyse-Systems der Fa. Waters) versetzt und nochmals kurz getrocknet. Danach wurden die Proben zur Derivatisierung der vom C-Terminus abgespaltenen Aminosäuren mit je 20 µl des "Derivatisation Reagens" (7 : 1 : 1 : 1 - Äthanol : Wasser : Triäthylamin : Phenylisothiocyanat; Picotag-System) versetzt, 20 Minuten bei Raumtemperatur stehen gelassen und dann 1 Stunde in einem Speed Vac Concentrator getrocknet.

Zur Analyse der derivatisierten Aminosäuren wurden die Proben in 100 µl "Sample Diluent" (Picotag-System der Fa. Waters) gelöst. Von diesen Lösungen wurden je 50 µl mit Reverse Phase HPLC (Säule, mobile Phase und Gradient nach Originalvorschrift des Picotag-Systems der Fa. Waters) analysiert. Die Chromatogramme der Proben und Reagentienblindwerte wurden mit dem Chromatogramm eines analog derivatisierten Gemisches (100 pMol/Aminosäure) von Standardaminosäuren (Fa. Beckman) verglichen.

Wie aus den quantitativen Ergebnissen der Picotag-Aminosäureanalyse (Tabelle 2) ersichtlich ist, ist Asparagin mit hoher Wahrscheinlichkeit die C-terminale Aminosäure von TNF-BP. Neben Asparagin konnten nach 240 Minuten Reaktionszeit auch Glutaminsäure und in geringerer Menge Isoleucin nachgewiesen werden. Signifikant über dem Reagentienblindwert liegende Mengen von anderen Aminosäuren konnten auch nach 240 Minuten Reaktionszeit nicht gefunden werden. Dieses Ergebnis (-I-E-N als C-Terminus) bestätigt die aus der N-terminalen Sequenzierung der tryptischen Peptide 21 und 27 abgeleitete Vermutung, daß die bei diesen Peptiden C-terminal identifizierten Aminosäuren -I-E-N (Beispiel 1b) den C-Terminus von TNF-BP darstellen.

Tabelle 2

## Quantitative Auswertung der Picotag-Aminosäureanalyse nach Reaktion von Carboxypeptidase P mit TNF-BP

Reaktionszeit	Integratoreinheiten für die Aminosäuren Isoleucin	Glutaminsäure	Asparagin	
0	—	—	—	
10	—	—	—	
20	—	—	83 304	
60	—	—	168 250	
120	—	—	319 470	55
240	85 537	152 350	416 570	

## Methoden zu den Beispielen 3 bis 7:

Um die Beschreibung der nachfolgenden Beispiele zu vereinfachen, werden oft wiederkehrende Methoden bzw. Bezeichnungen kurz beschrieben:

"Schneiden" oder "Verdauen" von DNA bezieht sich auf die katalytische Spaltung der DNA mittels Restriktionsendonukleasen (Restriktionsenzymen) an für diese spezifischen Stellen (Restriktionsstellen). Restriktionsendonukleasen sind käuflich erhältlich und werden unter den von den Herstellern empfohlenen Bedingungen (Puffer, Rinderserumalbumin (BSA) als Trägerprotein, Dithiothreitol (DTT) als Oxidationschutz) eingesetzt.

Restriktionsendonukleasen werden mit einem Großbuchstaben, meist gefolgt von Kleinbuchstaben und normalerweise einer römischen Ziffer, bezeichnet. Die Buchstaben hängen von dem Mikroorganismus ab, aus dem die

betreffende Restriktionsendonuklease isoliert wurde (z.B.: Sma I: *Serratia marcescens*). Üblicherweise wird etwa 1 µg DNA mit einer oder mehreren Einheiten des Enzyms in etwa 20 µl Pufferlösung geschnitten. Normalerweise wird eine Inkubationsdauer von 1 Stunde bei 37°C verwendet, kann aber laut den Verwendungsvorschriften des Herstellers variiert werden. Nach dem Schneiden wird manchmal die 5'Phosphatgruppe durch

5 Inkubation mit alkalischer Phosphatase aus Kalbsdarm (CIP) entfernt. Dies dient zur Verhinderung einer ungewünschten Reaktion der spezifischen Stelle in einer nachfolgenden Ligasereaktion (z.B. Zirkularisierung eines linearisierten Plasmids ohne Insertierung eines zweiten DNA-Fragmentes). Wenn nicht anders angegeben, werden DNA-Fragmente nach dem Schneiden mit Restriktionsendonukleasen normalerweise nicht dephosphoryliert. Reaktionsbedingungen für die Inkubation mit alkalischer Phosphatase sind z.B. dem M13 Cloning and  
10 Sequencing Handbuch (Cloning and Sequencing Handbook, Fa Amersham, PI/129/83/12) zu entnehmen. Nach der Inkubation wird Protein durch Extraktion mit Phenol und Chloroform entfernt und die DNA aus der wäßrigen Phase durch Zusatz von Äthanol präzipitiert.

"Isolierung" eines bestimmten DNA Fragments bedeutet die Auftrennung der durch den Restriktionsverdau erhaltenen DNA-Fragmente, z.B. auf einem 1% Agarosegel. Nach der Elektrophorese und dem Sichtbarmachen der DNA im UV-Licht durch Anfärben mit Äthidiumbromid (EtBr) wird das gewünschte Fragment anhand mitaufgetragener Molekulargewichtsmarker lokalisiert und durch weitere Elektrophorese an DE 81 Papier (Schleicher und Schüll) gebunden. Die DNA wird durch Spülen mit Niedrigsalzpuffer (200 mM NaCl, 20 mM Tris pH = 7,5, 1 mM EDTA) gewaschen und anschließend mit einem Hochsalzpuffer (1 M NaCl, 20 mM Tris pH = 7,5, 1 mM EDTA) eluiert. Die DNA wird durch Zusatz von Äthanol präzipitiert.

20 "Transformation" bedeutet das Einbringen von DNA in einen Organismus, so daß die DNA dort replizierbar ist, entweder extrachromosomal oder chromosomal integriert. Transformation von *E.coli* folgt der im M13 Cloning and Sequencing Handbuch (Cloning and Sequencing Handbook, Fa. Amersham, PI/129/83/12) angegebenen Methode.

25 "Sequenzieren" einer DNA bedeutet die Bestimmung der Nukleotidsequenz. Dazu wird zunächst die zu sequenzierende DNA mit verschiedenen Restriktionsenzymen geschnitten, und die Fragmente werden in entsprechend geschnittene M13 mp8, mp9, mp18 oder mp19 Doppelstrang DNA eingebracht, oder es werden die DNA mittels Ultraschall fragmentiert, die Enden repariert und die größenselektionierten Fragmente in Sma I geschnittene, dephosphorylierte M13 mp8 DNA eingebracht (Shotgun Methode). Nach der Transformation von *E.coli* JM 101 wird Einzelstrang DNA aus rekombinanten M13 Phagen entsprechend dem M13 Cloning and Sequencing manual (Cloning and Sequencing Handbook, Fa Amersham, PI/129/53/12) isoliert und nach der Didesoxymethode (30) sequenziert. Als Alternative zur Verwendung des Klenowfragment der *E.coli* DNA Polymerase I bietet sich dabei die T7-DNA Polymerase an ("Sequenase, Fa. United States Biochemical Corporation"). Die Sequenzreaktionen werden entsprechend dem Handbuch "Sequenase: Step-by-Step Protocols for DNA Sequencing With Sequenase" durchgeführt.

35 Eine weitere Sequenzierungsmethode besteht im Klonieren der zu sequenzierenden DNA in einen Vektor, der unter anderem einen Replikationsursprung eines DNA-Einzelstrangphagen (M13, f1) trägt (z.B. Bluescribe oder Bluescript M13 von Stratagene). Nach Transformation von *E.coli* JM101 mit dem rekombinanten Molekül können die Transformanten mit einem Helferphagen, z. B. M13K07 oder R408 von Promega) infiziert werden. Als Resultat erhält man eine Mischung aus Helferphagen und verpacktem, einzelsträngigem rekombinanten  
40 Vektor. Die Aufarbeitung der Sequenzervorlage (Template) erfolgt in Analogie zu der M13 Methode.

Die Auswertung der Sequenzen erfolgt mittels der ursprünglich von R. Staden (27) entwickelten und von Ch. Pieler (28) modifizierten Computerprogramme.

45 "Ligieren" bezieht sich auf den Prozeß der Bildung von Phosphodiesterbindungen zwischen zwei Enden von Doppelstrang-DNA Fragmenten. Üblicherweise werden zwischen 0,02 und 0,2 µg DNA-Fragmente in 10 µl mit etwa 5 units T4-DNA Ligase ("Ligase") in einer geeigneten Pufferlösung ligiert (29: 474). "Präparation" von DNA aus Transformanten bedeutet die Isolierung der Plasmid DNA aus Bakterien mittels der alkalischen SDS Methode, modifiziert nach Birnboim und Doly (29: 368 – 369) unter Weglassen des Lysozyms. Dabei werden die Bakterien aus 1,5 bis 50 ml Kultur verwendet.

50 "Oligonukleotide" sind kurze Polydesoxynukleotide, die chemisch synthetisiert werden. Dazu wurde der Applied Biosystems Synthesizer Modell 381A verwendet. Die Oligonukleotide werden entsprechend dem Modell 381A User Manual (Applied Biosystems) aufgearbeitet. Sequenzprimer werden ohne weitere Reinigung direkt eingesetzt. Andere Oligonukleotide werden bis zu einer Kettenlänge von 70 durch die "OPC"-Methode gereinigt (OPC = Oligonucleotid purification column, Applied Biosystems, Product Bulletin, January 1988). Längere Oligonukleotide werden durch Polyacrylamidgelectrophorese (6% Acrylamid, 0,15% Bisacrylamid, 6  
55 M Harnstoff, TBE-Puffer) gereinigt und nach der Elution aus dem Gel über eine G-25 Sepharosesäule entsalzt.

### Beispiel 3

#### Herstellung von TNF-BP-spezifischen Hybridisierungssonden

60 Die Auswahl der Oligonukleotide wurde im Hinblick auf deren Verwendung zur Amplifizierung von cDNA mittels PCR getroffen:

65 a) Aus der N-terminalen Aminosäuresequenz des TNF-Bindungsproteins (Hauptsequenz, erhalten aus Vorversuch 3 und Beispiel 1, Fraktion 1)  
Asp-Ser-Val-Cys-Pro-Gln-Gly-Lys-Tyr-Ile-His-Pro-Gln-  
wurde ein Heptapeptid-Bereich ausgewählt, der die niedrigste Komplexität eines gemischten Oligonukleotids zum Hybridisieren an cDNA zuläßt: Es sind dies die Aminosäuren 6 bis 12. Um die Komplexität des

Mischoligonukleotids herabzusetzen, wurden vier Mischoligonukleotide mit einer Komplexität von jeweils 48 hergestellt. Die Oligonukleotide wurden in Richtung der mRNA hergestellt, sie sind somit zum 3'Ende der Sequenz orientiert und identisch mit dem nichtkodierenden Strang des TNF-BP-Gens:

Gln-Gly-Lys-Tyr-Ile-His-Pro

5

5'CAA GGT AAA TAT ATT CAT CC 3'TNF-BP #3/1 EBI-1639

G G C C  
A

10

5'CAA GGC AAA TAT ATT CAT CC 3'TNF-BP #3/2 EBI-1640

G G C C  
A

15

5'CAA GGA AAA TAT ATT CAT CC 3'TNF-BP #3/3 EBI-1641

G G C C  
A

20

5'CAA GGG AAA TAT ATT CAT CC 3'TNF-BP #3/4 EBI-1642

G G C C  
A

25

b) Aus der Aminosäuresequenz eines tryptischen Peptides (Fraktion 11 des tryptischen Verdaus) der Aminosäuresequenz

35

Glu-Cys-Glu-Ser-Gly-Ser-Phe-Thr-Ala-Ser-(Glu/Cys)-Asn-  
Asn-Lys (vgl. Beispiel 1)

40

wurde ein Peptid-Bereich ausgewählt und ein weiterer Satz von Mischoligonukleotiden synthetisiert:

45

50

55

60

65

-Phe-Thr-Ala-Ser-Glu-Asn-Asn-Lys

Cys

TNF-BP #4/5 (EBI-1653):

3'AAA TGA CGG AGA CTC TTG TTG TT CCTAGGG 5'

G G T T T

T

TNF-BP #4/6 (EBI-1654):

3'AAA TGA CGG TCA CTC TTG TTG TT CCTAGGG 5'

## G E T G E T

1

TNF-BP #4/7 (EBI-1657):

3'AAA TGA CGG AGA ACA TTG TTG TT CCTAGGG 5'

## G G T T E

7

**TNF-BP #4/8 (EBI-1658):**

3'AAA TGA CGG TCA ACA TTG TTG TT CCTAGGG 5'

## G G T C E

T

Die Oligonukleotide wurden komplementär zur mRNA synthetisiert und sind somit zum 5' Ende der Sequenz orientiert. Um das amplifizierte DNA-Fragment im Anschluß an die PCR effizient klonieren zu können, wurde auch ein BamHI-Linker am 5' Ende der Oligonukleotide vorgesehen. Werden z.B. die Oligonukleotide TNF-BP #4/5-8 gemeinsam mit TNF-BP #3/1-4 für die PCR an der gesamten Lambda-DNA einer Bibliothek eingesetzt, kann ein etwa resultierendes DNA Fragment mit BamHI nachgeschnitten werden. Die Partner-Oligonukleotide ergeben ein gerades Ende am 5' Terminus, das Fragment kann somit in die SmaI-BamHI-Stellen eines geeigneten Vektors kloniert werden. Jedes Mischoligonukleotid TNF-BP #4/5 bis 8 ist eine Mischung aus 48 Einzelnukleotiden und berücksichtigt einige Codons nicht, und zwar:

Thr	ACG
Ala	GCG und GCT
Ser	TCG und TCC
Asp	AAT

Bei GCT wird die Möglichkeit in Betracht gezogen, daß das zu GCC (Ala) komplementäre Tripplett CGG durch Ausbildung einer G-T Brücke wirksam sein kann, bei TCG (Ser) und AAT (Asn) gilt dasselbe bezüglich AGT bzw. TTG.

ACG, GCG und TCG sind äußerst seltene Codons (CG-Regel) und wurden deshalb nicht berücksichtigt.

### Beispiel 4

## 65 Amplifizierung einer für TNF-BP kodierenden Teilsequenz aus einer cDNA-Bibliothek

### a) Isolierung von Lambda-DNA einer cDNA Bibliothek

Die Herstellung der cDNA Bibliothek erfolgte nach der in der EP-A1-02 93 567 für die humane plazentale

cDNA Bibliothek beschriebenen Methode mit dem Unterschied, daß als Ausgangsmaterial  $10^9$  Fibrosarkomzellen der Zelllinie HS 913 T, die unter Stimulierung mit humanem TNF- $\alpha$  (10 ng/ml) hochgezüchtet worden waren, verwendet wurden. Statt Lambda gt10 wurde Lambda gt11 verwendet (cDNA Synthese: Amersham RPN 1256; EcoRI verdaute Lambda gt11 Arme: Promega Biotech; in vitro Verpacken der ligierten DNA: Gigapack Plus, Stratagene).

5 ml des Phagenüberstandes der amplifizierten cDNA Bibliothek der humanen Fibrosarkom Zelllinie HS913T in Lambda gt11 wurden mit 0,5  $\mu$ g RNase A und 0,5  $\mu$ g DNase I versetzt und eine Stunde bei 37°C inkubiert. Die Mischung wurde 10 min bei 5000xg zentrifugiert, der Überstand durch Extraktion mit Phenol und Chloroform von Protein befreit und die DNA aus der wässrigen Phase durch Zusatz von Ethanol präzipitiert. Die Lambda-DNA wurde in TE-Puffer (10 mM Tris pH = 7,5; 1 mM EDTA) gelöst.

b) PCR Amplifizierung einer TNF-BP Sequenz aus einer cDNA Bibliothek

Für die Anwendung der PCR (26) auf DNA der HS913T cDNA Bibliothek wurden 16 Einzelreaktionen durchgeführt, in welchen jeweils eines der 4 Mischoligonukleotide EBI-1639, EBI-1640, EBI-1641, EBI-1642 als erster Primer und eines der vier Mischoligonukleotide EBI-1653, EBI-1654, EBI-1657, EBI-1658 als zweiter Primer eingesetzt wurde. Jedes dieser Mischoligonukleotide enthält 48 verschiedene Oligonukleotide gleicher Länge. Die Amplifizierung mittels PCR fand in 50  $\mu$ l Reaktionsvolumen, enthaltend 250 ng Lambda-DNA der cDNA-Bibliothek, 50 mM KC1, 10 mM Tris pH = 8,3, 1,5 mM MgCl<sub>2</sub>, 0,01% Gelatine, 0,2 mM jedes der 4 desoxy-Nukleosidtriphosphate (dATP, dGTP, dCTP, dTTP), je 200 pMol erster und zweiter Primer, 1,25 Einheiten Taq Polymerase (Perkin-Elmer Cetus) statt. Um ein Verdunsten zu verhindern, wurde die Lösung mit einigen Tropfen Mineralöl (0,1 ml) überschichtet. Die PCR wurde in einem DNA Thermal Cycler (Perkin-Elmer Cetus) folgendermaßen durchgeführt: Die Proben wurden 5 Minuten auf 94°C erhitzt, um die DNA zu denaturieren, und anschließend 40 Amplifikationszyklen unterworfen. Ein Zyklus bestand aus 40 Sekunden Inkubation bei 94°C, 2 Minuten Inkubation bei 55°C und 3 Minuten Inkubation bei 72°C. Am Ende des letzten Zyklus wurden die Proben für weitere 7 Minuten bei 72°C inkubiert, um sicherzustellen, daß die letzte Primer-Verlängerung vollständig verläuft. Nach Abkühlen auf Raumtemperatur wurden die Proben mit Phenol und Chloroform von Protein befreit und die DNA mit Äthanol präzipitiert.

5  $\mu$ l jeder der 16 PCR-Proben wurden auf ein Agarosegel aufgetragen und die Länge der amplifizierten DNA-Fragmente nach elektrophoretischer Auf trennung bestimmt. Die stärkste DNA Bande, ein Fragment von 0,16 kb Länge, war in den PCR-Proben zu sehen, die mit dem Oligonukleotid EBI-1653 als erstem Primer und einem der Oligonukleotide EBI-1639, EBI-1640, EBI-1641 oder EBI-1642 als zweitem Primer amplifiziert worden waren. Da die mit dem Primerpaar EBI-1653 und EBI-1642 amplifizierte Probe die größte Menge an diesem 0,16 kb DNA-Fragment enthielt, wurde diese Probe für die weitere Aufarbeitung ausgewählt.

35 Beispiel 5

Klonierung und Sequenzierung eines durch PCR Amplifikation gewonnenen DNA-Fragments

Das erhaltene PCR-Produkt der Primer EBI-1642 und EBI-1653 wurde mit BamHI geschnitten und nachfolgend elektrophoretisch in einem Agarosegel (1,5% NuSieve GTG Agarose plus 1% Seakem GTG Agarose, FMC Corporation) nach der Größe aufgetrennt. Die Hauptbande, ein DNA Fragment von 0,16 kb Länge, wurde aus dem Gel elektroeluiert und mit Ethanol präzipitiert. Dieses DNA Fragment wurde mit BamHI/SmaI geschnittenem Plasmid pUC18 (Pharmacia) ligiert und E. coli JM101 mit dem Ligationsgemisch transformiert. Die nach der Minipräparationsmethode hergestellten Plasmide wurden durch Schneiden mit den Restriktionsenzymen PvuII und EcoRI-BamHI und nachfolgender Elektrophorese in Agarosegeln charakterisiert. Das Plasmid pUC18 enthält zwei Schnittstellen für PvuII, die in einem 0,32 kb DNA-Fragment die Polyklonierstelle flankieren. Sehr kurze DNA-Inserts in der Polyklonierstelle des Plasmids können nach Schneiden mit PvuII leichter im Agarosegel sichtbar gemacht werden, da sich die Länge um 0,32 kb vergrößert. Durch Schneiden mit EcoRI und BamHI kann das in den mit BamHI und SmaI geschnittenen Plasmidvektor ligierte DNA-Fragment inklusive einiger Basenpaare der Polylinkersequenz erhalten werden. Ein Klon mit dem gewünschten Insert wurde als pTNF-BP3B bezeichnet. Das gesamte DNA-Insert dieses Klons wurde nach Subklonieren eines EcoRI-BamHI Fragments in M13mp18 (Pharmacia) nach der modifizierten Didesoxy Methode mit Sequenase (United States Biochemical Corporation) sequenziert.

Die Analyse der durch PCR-amplifizierten DNA ergab folgende Sequenz (nur der nicht kodierende Strang ist abgebildet, darüber die abgeleitete Aminosäuresequenz):

5

10

Gln Gly Lys Tyr Ile His Pro Gln Asn Asn Ser Ile Cys  
CAG GGG AAA TAT ATT CAC CCT CAA AAT AAT TCG ATT TGC

60

65

15

20

25

5                    Cys Thr Lys Cys His Lys Gly Thr Tyr Leu Tyr Asn Asp  
 TGT ACC AAG TGC CAC AAA GGA ACC TAC TTG TAC AAT GAC

30

35

10                   Cys Pro Gly Pro Gly Gln Asp Thr Asp Cys Arg Glu Cys  
 TGT CCA GGC CCG GGG CAG GAT ACG GAC TGC AGG GAG TGT

15                   40

45

50

Glu Ser Gly Ser Phe Thr Ala Ser Glu Asn Asn Lys  
 GAG AGC GGC TCC TTC ACA GCC TCA GAA AAC AAC AAG GAT CC

20

Die ersten 20 und die letzten 29 Nukleotide (in Kursivschrift) entsprechen den Sequenzen der Primer-Oligonukleotide EBI-1642 bzw. dem Komplement von EBI-1653. Die Aminosäuren 38 bis 43 bestätigen die restliche Sequenz des tryptischen Peptides 11.

25                   Weiters enthält das mittels PCR erzeugte DNA-Fragment die Sequenz des Peptides der Fraktion 20 des tryptischen Verdaus (Aminosäuren 20 bis 34, unterstrichen). Damit ist erwiesen, daß der Klon pTNF-BP3B von einer cDNA abgeleitet wurde, die für TNF-Bindungsprotein kodiert.

pTNF-BP3B stellt damit eine Sonde, z.B. zum Durchsuchen von cDNA-Bibliotheken nach TNF-BP cDNAs, dar.

30

#### Beispiel 6

##### Isolierung von TNF-BP cDNA Klonen

35                   Ca. 720 000 Phagen der HS913T cDNA Bibliothek in Lambda gt11 wurden auf E.coli Y1088 ( $\Delta$ lacU169, pro: Tn5, tonA2, hsdR, supE, supF, metB, trpR, F<sup>-</sup>,  $\lambda$ <sup>-</sup>, (pMC9)) plattiert (ca. 60 000 Phagen pro 14,5 cm Petrischale, LB-Agar: 10 g/l Trypton, 5 g/l Hefeextrakt, 5 g/l NaCl, 1,5% Agar, Plattieren in Top-Agarose: 10 g/l Trypton, 8 g/l NaCl, 0,8% Agarose). Von jeder Platte wurden zwei Nitrozellulosefilter-Abzüge hergestellt. Die Filter wurden vorgewaschen (16 Stunden bei 65°C) in:

40                   50 mM Tris/HCl, pH = 8,0  
 1 M NaCl  
 1 mM EDTA  
 0,1% SDS

45                   Die Filter wurden zwei Stunden bei 65°C prähybridisiert in:  
 6 x SSC (0,9 M NaCl, 0,09 M tri-Nacitrat)  
 5 x Denhardt's (0,1% Ficoll, 0,1% Polyvinylpyrrolidon, 0,1% BSA [= Rinderserumalbumin])  
 0,1% SDS

##### 50                   Herstellung der radioaktiv markierten Sonde

55                   pTNF-BP 3B wurde mit BamHI und EcoRI doppelt geschnitten und das ca. 0,16 kb Insert isoliert. 0,6  $\mu$ g des Inserts in 32 ml werden bei 100°C denaturiert und mit je 60 pMol EBI-1642 und EBI-1653 durch Abkühlen auf 80°C über 10 Minuten und jähes Abkühlen in Eiswasser geprämt. Nach Zusatz von

60                   10  $\mu$ l  $\alpha$ -<sup>32</sup>P-dCTP (100  $\mu$ Ci, 3,7 MBq)  
 5  $\mu$ l 10 x Priming Puffer (0,1 M Tris/HCl, pH = 8,0, 50 mM mgCl<sub>2</sub>)  
 2  $\mu$ l je 1 mM dATP, dGTP, dTTP  
 1  $\mu$ l PolIK (Klenow Fragment der E. coli DNA Polymerase I, 5 Einheiten)

65                   wurde 90 Minuten bei Raumtemperatur inkubiert. Nach Hitzeinaktivierung (10 Minuten auf 70°C) erfolgt das Abtrennen der nichteingebauten Radioaktivität durch Chromatographie über Biogel P6DG (Biorad) in TE Puffer (10 mM Tris/HCl pH = 8, 1 mM EDTA). Eingebaut wurden  $65 \times 10^6$  cpm.

65                   Das Hybridisieren der Filter erfolgte in einem Gesamtvolumen von 80 ml 6 x SSC/5X Denhardt's/0,1% SDS plus hitzenaturierter Hybridisiersonde während 16 Stunden bei 65°C.

Die Filter wurden zweimal 30 Minuten bei Raumtemperatur in 6 x SSC/0,01% SDS und einmal 45 Minuten bei Raumtemperatur in 2 x SSC/0,01% SDS und dreimal 30 Minuten bei 65°C in 2 x SSC/0,01% SDS gewaschen.

Die Filter wurden luftgetrocknet und anschließend an Amersham Hyperfilm 16 Stunden unter Verwendung einer Verstärkerfolie bei  $-70^{\circ}\text{C}$  exponiert. Insgesamt wurden 30 hybridisierende Plaques identifiziert (Lambda-TNF-BP # 1 – 30)

Die Regionen mit den hybridisierenden Plaques wurden möglichst präzise ausgestochen, und die Phagen in 300 ml SM Puffer plus 30 ml Chloroform eluiert. Durch "Plaquereinigung" (Plattieren von ca. 200 Phagen pro 9 cm Petrischale beim zweiten Durchgang, bzw. ca. 20 Phagen pro 9 cm Petrischale beim dritten Durchgang, Filterabzüge doppelt, Vorbereiten, Hybridisieren und Waschen wie beim erstmaligen Durchsuchen beschrieben) wurden letztlich 25 hybridisierende Phagen vereinzelt (Lambda-TNF-BP # 1 – 10, 12 – 24, 29, 30).

Darstellung der rekombinanten Lambda-DNA von den Klonen Lambda-TNF-BP # 13, 15, 23, 30.

$2 \times 10^6$  Phagen wurden auf *E.coli* Y1088 in Topagarose (10 g/l Trypton, 8 g/l NaCl, 0,8% Agarose) plattiert (14,5 cm Petrischale mit LB-Agarose (1,5% Agarose, 0,2% Glucose, 10 mM MgSO<sub>4</sub>, 10 g/l Trypton, 5 g/l Hefeextrakt, 5 g/l NaCl) und 6 Stunden bei  $37^{\circ}\text{C}$  inkubiert. Nach Abkühlen der Platten (30 Minuten bei  $4^{\circ}\text{C}$ ) wurde mit 10 ml Lambda-Diluent (10 mM Tris/HCl pH = 8,0, 10 mM MgCl<sub>2</sub>, 0,1 mM EDTA) überschichtet und 16 Stunden bei  $4^{\circ}\text{C}$  eluiert. Der Überstand wurde in 15 ml Corex Röhrchen transferiert und 10 Minuten bei 15 000 rpm und  $4^{\circ}\text{C}$  zentrifugiert (Beckman J2-21 Zentrifuge, JA20 Rotor). Der Überstand wurde in 10 ml Polycarbonat-Röhrchen dekantiert und bei 50 000 rpm, 20°C bis  $\omega t = 3 \times 10^{10}$  zentrifugiert (Beckman L8-70, 50 Ti Rotor). Das Pellet wurde in 0,5 ml Lambda-Diluent resuspendiert und in Eppendorf Röhrchen (1,4 ml) transferiert. Nach Zusatz von 5 mg RNase A und 0,5 mg DNase I und Inkubation bei  $37^{\circ}\text{C}$  während 30 Minuten und Zusatz von 25 ml 0,5 M EDTA, 12,5 ml 1 M Tris/HCl pH = 8,0, 6,5 ml 20% SDS erfolgte weitere Inkubation bei  $70^{\circ}\text{C}$  für 30 Minuten. Die Lambda DNA wurde durch Phenol/Chloroform Extraktion gereinigt und mit Ethanol gefällt. Abschließend wurde die DNA in 100 ml TE-Puffer gelöst.

#### Beispiel 7:

##### Subklonierung und Sequenzierung von TNF-BP cDNA Klonen 15 und 23

Um die cDNAs der Klonen Lambda-TNF-BP15 und Lambda-TNF-BP23, die bei der Hybridisierung die stärksten Signale gezeigt hatten, näher zu charakterisieren, wurden die cDNA-Inserts mit EcoRI aus der Lambda-DNA herausgeschnitten, nach elektrophoretischer Auf trennung aus einem Agarosegel eluiert und mit Äthanol präzipitiert. Die DNA-Fragmente von 1,3 kb (von Lambda-TNF-BP15) und 1,1 kb (von Lambda-TNF-BP23) wurden mit EcoRI geschnittenem und mit alkalischer Phosphatase aus Kalbsdarm dephosphoryliertem Plasmidvektor pT7/T3 $\alpha$ -18 (Bethesda Research Laboratories) mit T4 DNA Ligase ligiert und *E.coli* JM101 transformiert. Von einzelnen Bakterienkolonien, die nach Selektion auf Agaroseplatten mit Ampicillin und X-gal keine blaue Färbung aufwiesen, wurde im Minipräparationsverfahren Plasmid-DNA hergestellt und durch Schneiden mit EcoRI und HindIII das Vorhandensein und die Orientierung des cDNA Inserts festgestellt. Plasmide, die das EcoRI Insert der Phagen Lambda-TNF-BP15 bzw. Lambda-TNF-BP23 so orientiert enthielten, daß das dem 5'-Ende der mRNA entsprechende Ende dem T7 Promoter zugewandt ist, wurden pTNF-BP15 bzw. pTNF-BP23 benannt.

Die EcoRI Inserts von Lambda-TNF-BP15 und Lambda-TNF-BP23 wurden ebenfalls in mit EcoRI geschnittenen und dephosphorylierten M13mp19 Vektor ligiert und *E.coli* JM101 transformiert. Von einigen wahllos ausgewählten M13 Klonen wurde Einzelstrang-DNA präpariert und als Vorlage für die Sequenzierung nach der Didesoxy-Methode verwendet.

An M13 Klonen, die die cDNA-Inserts in entgegengesetzter Orientierung enthielten, wurden mit dem universellen Sequenzierprimer und spezifisch synthetisierten Oligonukleotidprimern, die an das cDNA-Insert binden, beide DNA-Stränge vollständig sequenziert.

Die vollständige Nukleotidsequenz von 1334 Basen des cDNA-Inserts von Lambda-TNF-BP15 bzw. pTNF-BP15 ist in Fig. 1 dargestellt. Die Basen 1 – 6 und 1328 – 1334 entsprechen den EcoRI-Linkern, die bei der Herstellung der cDNA-Bibliothek an die cDNA angefügt worden waren. Die Nukleotidsequenz des cDNA-Inserts von Lambda-TNF-BP23 entspricht der von Lambda-TNF-BP15 (Basen 22 – 1100), flankiert von EcoRI-Linkern.

#### Literatur

1. Carswell, E. A., et al. 1975. Proc. Natl. Acad. Sci. USA. 25: 3666 – 3670.
2. Old, L. J. 1987. Nature (Lond.) 326: 330 – 331.
3. Aggarwal, B. B., et al. et al. 1985. Nature 318: 665 – 667.
4. Gullberg, U., et al. et al. 1987. Eur. J. Haematol. 39: 241 – 251.
5. Beutler, B., et al. et al. 1985. Nature 316: 552 – 554.
6. Torti, F. M. et al. 1985. Nature (Lond.) 229: 867 – 869.
7. Mahoney Jr., J. R., et al. 1985. J. Immunol. 134: 1673 – 1675.
8. Shalaby, M. R., et al. 1985. J. Immunol. 135: 2069 – 2073.
9. Klebanoff, S. J., et al. 1986. J. Immunol. 136: 4220 – 4225.
10. Mestan, J., et al. 1986. Nature (Lond.) 323: 816 – 819.
11. Wong, G. H. W., et al. 1986. Nature (Lond.) 323: 819 – 822.
12. Cerami, A., et al. 1988. Immunol. Today 9: 28 – 31.
13. Tracey, K. J., et al. 1986. Science (Wash. D. C.) 234: 470 – 474.
14. Tracey, K. J., et al. 1987. Nature (Lond.) 330: 662 – 666.
15. Piguet, P. F., et al. 1987. Immunobiol. 175: 27

16. Waage, A., et al. 1987. Lancet. ii: 355—357.  
 17. Seckinger, P., et al. 1987. J. Immunol. 139: 1546—1549.  
 18. Beutler B., et al. 1988. A common mediator. Ann. Rev. Biochem. 57: 505—18.  
 19. Oliiff A., et al. 1987. Cell 555—63.  
 5 20. Seckinger P., et al. 1988. J. Exp. Med.: 1511—16.  
 21. Olsson I., et al. 1988. Eur. J. Haematol. 41: 414—420.  
 22. Olsson I., et al. 1989. Eur. J. Haematol. 42: 270—275.  
 23. Creasey, A. A., et al. 1987. Proc. Natl. Acad. Sci. USA, Vol. 84: 3293—3297.  
 24. Laemmli U. K. 1970. Nature (London) 227: 680—4.  
 10 25. Oakley, B. R., et al. 1986. 105: 361—363.  
 26. Saiki, R. K., 1988. Science 239: 487—491.  
 27. Staden, R., 1982. Nucleic Acid Res. 10: 4731—4751.  
 28. Pieler Ch., 1987. Dissertation, Universität Wien.  
 29. Maniatis, T., et al. 1982. Molecular Cloning A laboratory Manual. Cold Spring Harbor Laboratory: 474.  
 15 30. Sanger et al. 1977. Proc. Natl. Acad. Sci. 74: 5463—5467.  
 31. Hsieng, S. L., et al. 1988. J. Chromatographie 447: 351—364.  
 32. Stauber, G. B., et al. 1988. J. Biolog. Chem. 35, Vol. 263: 19098—19104.  
 33. Aggarwal, B. B., et al. 1985. Nature 318: 655—667.  
 34. Locksley, R. M., et al. 1987. J. Immunol. 139: 1891—1895.  
 20 35. Stauber, G. B., et al. 1989. J. Biolog. Chem. 6, Vol. 264: 3573—3576.  
 36. Frohman, M. A., et al. 1988. Proc. Natl. Acad. Sci. USA, Vol. 85: 8998—9002.

## Patentansprüche

25 1. DNA, kodierend für ein Polypeptid mit der Fähigkeit, TNF zu binden bzw. für ein Polypeptid, von dem dieses TNF bindende Protein eine Teilsequenz darstellt.  
 2. DNA nach Anspruch 1, kodierend für TNF bindendes Protein, dadurch gekennzeichnet, daß sie die Formel

30 R<sup>2</sup> GAT AGT GTG TGT CCC CAA GGA AAA TAT ATC CAC  
 CCT CAA AAT AAT TCG ATT TGC TGT ACC AAG TGC CAC  
 AAA GGA ACC TAC TTG TAC AAT GAC TGT CCA GGC CCG  
 35 GGG CAG GAT ACG GAC TGC AGG GAG TGT GAG AGC GGC  
 TCC TTC ACC GCT TCA GAA AAC CAC CTC AGA CAC TGC  
 CTC AGC TGC TCC AAA TGC CGA AAG GAA ATG GGT CAG  
 40 GTG GAG ATC TCT TCT TGC ACA GTG GAC CGG GAC ACC  
 GTG TGT GGC TGC AGG AAG AAC CAG TAC CGG CAT TAT  
 TGG AGT GAA AAC CTT TTC CAG TGC TTC AAT TGC AGC  
 45 CTC TGC CTC AAT GGG ACC GTG CAC CTC TCC TGC CAG  
 GAG AAA CAG AAC ACC GTG TGC ACC TGC CAT GCA GGT  
 50 TTC TTT CTA AGA GAA AAC GAG TGT GTC TCC TGT AGT  
 AAC TGT AAG AAA AGC CTG GAG TGC ACG AAG TTG TGC  
 CTA CCC CAG ATT GAG AAT

55 aufweist, wobei R<sup>2</sup> gegebenenfalls fehlt oder eine für ein in vivo abspaltbares (Poly)peptid kodierende DNA darstellt, einschließlich ihrer degenerierten Varianten.  
 3. DNA nach Anspruch 2, kodierend für sekretierbares TNF bindendes Protein, dadurch gekennzeichnet, daß sie die in Anspruch 2 definierte Formel aufweist, wobei R<sup>2</sup> eine zur Gänze oder teilweise für eine Signalsequenz kodierende DNA darstellt.  
 60 4. DNA nach Anspruch 2, dadurch gekennzeichnet, daß R<sup>2</sup> die Formel CTG GTC CCT CAC CTA GGG GAC AGG GAG AAG AGA aufweist.  
 5. DNA Anspruch 3, dadurch gekennzeichnet, daß R<sup>2</sup> für R<sup>3</sup> CTG GTC CCT CAC CTA GGG GAC AGG GAG AAG AGA steht, wobei R<sup>3</sup> eine für ein Signalpeptid kodierende DNA darstellt.  
 6. DNA nach Anspruch 5, dadurch gekennzeichnet, daß R<sup>3</sup> für ATG GGC CTC TCC ACC GTG CCT GAC CTG CTG CTG CCA CTG GTG CTC CTG GAG CTG TTG GTG GGA ATA TAC CCC TCA GGG GTT ATT GGA steht.  
 65 7. DNA nach Anspruch 1, kodierend für einen TNF-Rezeptor bzw. einen Abschnitt davon, dadurch gekennzeichnet, daß sie die Formel

ATG GGC CTC TCC ACC GTG CCT GAC CTG CTG CTG CCA  
 CTG GTG CTC CTG GAG CTG TTG GTG GGA ATA TAC CCC  
 TCA GGG GTT ATT GGA CTG GTC CCT CAC CTA GGG GAC  
 5  
 AGG GAG AAG AGA GAT AGT GTG TGT CCC CAA GGA AAA  
 TAT ATC CAC CCT CAA AAT AAT TCG ATT TGC TGT ACC  
 AAG TGC CAC AAA GGA ACC TAC TTG TAC AAT GAC TGT  
 10  
 CCA GGC CCG GGG CAG GAT ACG GAC TGC AGG GAG TGT  
 GAG AGC GGC TCC TTC ACC GCT TCA GAA AAC CAC CTC  
 AGA CAC TGC CTC AGC TGC TCC AAA TGC CGA AAG GAA  
 15  
 ATG GGT CAG GTG GAG ATC TCT TCT TGC ACA GTG GAC  
 CGG GAC ACC GTG TGT GGC TGC AGG AAG AAC CAG TAC  
 CGG CAT TAT TGG AGT GAA AAC CTT TTC CAG TGC TTC  
 20  
 AAT TGC AGC CTC TGC CTC AAT GGG ACC GTG CAC CTC  
 TCC TGC CAG GAG AAA CAG AAC ACC GTG TGC ACC TGC  
 CAT GCA GGT TTC TTT CTA AGA GAA AAC GAG TGT GTC  
 25  
 TCC TGT AGT AAC TGT AAG AAA AGC CTG GAG TGC ACG  
  
 AAG TTG TGC CTA CCC CAG ATT GAG AAT GTT AAG GGC  
 30  
 ACT GAG GAC TCA GGC ACC ACA GTG CTG TTG CCC CTG  
 GTC ATT TTC TTT GGT CTT TGC CTT TTA TCC CTC CTC  
 TTC ATT GGT TTA ATG TAT CGC TAC CAA CGG TGG AAG  
 35  
 TCC AAG CTC TAC TCC ATT GTT TGT GGG AAA TCG ACA  
 CCT GAA AAA GAG GGG GAG CTT GAA GGA ACT ACT ACT  
 AAG CCC CTG GCC CCA AAC CCA AGC TTC AGT CCC ACT  
 40  
 CCA GGC TTC ACC CCC ACC CTG GGC TTC AGT CCC GTG  
 CCC AGT TCC ACC TTC ACC TCC AGC TCC ACC TAT ACC  
 CCC GGT GAC TGT CCC AAC TTT GCG GCT CCC CGC AGA  
 GAG GTG GCA CCA CCC TAT CAG GGG GCT GAC CCC ATC  
 45  
 CTT GCG ACA GCC CTC GCC TCC GAC CCC ATC CCC AAC  
 CCC CTT CAG AAG TGG GAG GAC AGC GCC CAC AAG CCA  
 CAG AGC CTA GAC ACT GAT GAC CCC GCG AGC CTG TAC  
 50  
 GCC GTG GTG GAG AAC GTG CCC CCG TTG CGC TGG R<sup>1</sup>

aufweist, wobei R<sup>1</sup> für einen DNA-Abschnitt steht, der für die C-terminale Region der zytoplasmatischen Domäne des TNF-Rezeptors kodiert, bzw. daß sie den für den entsprechenden Rezeptor-Abschnitt kodierenden Abschnitt darstellt, einschließlich ihrer degenerierten Varianten.

8. Nukleinsäure, dadurch gekennzeichnet, daß sie mit der im Anspruch 7 definierten DNA unter Bedingungen niedriger Stringenz hybridisiert.

9. Rekombinantes DNA Molekül, dadurch gekennzeichnet, daß es mindestens eine in einem der Ansprüche 1 bis 6 definierte DNA enthält.

10. Rekombinantes DNA Molekül, dadurch gekennzeichnet, daß es mindestens eine in Anspruch 1 oder 7 definierte DNA enthält.

11. Rekombinantes DNA Molekül nach Anspruch 9, replizierbar in prokaryotischen oder eukaryotischen Wirtsorganismen, dadurch gekennzeichnet, daß es mit der in einem der Ansprüche 1 bis 6 definierten DNA funktionell verbundene Expressionskontrollsequenzen enthält.

12. Rekombinantes DNA Molekül nach Anspruch 10, replizierbar in eukaryotischen Wirtsorganismen,

dadurch gekennzeichnet, daß es mit einer in Anspruch 1 oder 7 definierten DNA funktionell verbundene Expressions-Kontrollsequenzen enthält.

13. Wirtsorganismus, dadurch gekennzeichnet, daß er mit mindestens einem rekombinantern DNA Molekül gemäß Anspruch 11 transformiert ist.

5 14. Wirtsorganismus, dadurch gekennzeichnet, daß er mit mindestens einem rekombinantern DNA Molekül gemäß Anspruch 12 transformiert ist.

15. Wirtsorganismus nach Anspruch 14, dadurch gekennzeichnet, daß er eine Säugetierzelle ist.

16. Verwendung des Wirtsorganismus nach Anspruch 15 zum Untersuchen von Substanzen auf ihre Beeinflussung der biologischen Wirkung von TNF- $\alpha$  und/oder TNF- $\beta$ .

10 17. Polypeptid, dadurch gekennzeichnet, daß es von einer in einem der Ansprüche 1 bis 6 definierten DNA kodiert wird.

18. Polypeptid, dadurch gekennzeichnet, daß es von einer in Anspruch 1 oder 7 definierten DNA kodiert wird.

19. Verwendung von Polypeptiden nach Anspruch 17 oder 18 zum Untersuchen von Substanzen auf ihre Wechselwirkung mit TNF- $\alpha$  und/oder TNF- $\beta$  bzw. deren Rezeptor und/oder ihre Beeinflussung deren biologischer Wirkung.

20. Verfahren zur Herstellung eines Polypeptids nach Anspruch 17, dadurch gekennzeichnet, daß ein geeigneter Wirtsorganismus mit rekombinanter DNA gemäß Anspruch 11 transformiert und gezüchtet und das exprimierte Protein isoliert wird.

21. Verfahren zur Herstellung eines Polypeptids nach Anspruch 17, dadurch gekennzeichnet, daß ein geeigneter Wirtsorganismus mit rekombinanter DNA gemäß Anspruch 12 transformiert und gezüchtet und das exprimierte Protein isoliert wird.

22. Polypeptid nach Anspruch 17 zur prophylaktischen oder therapeutischen Behandlung des menschlichen oder tierischen Körpers bei Indikationen, bei denen eine schädigende Wirkung von TNF auftritt.

23. Polypeptid nach Anspruch 17 zur Behandlung von entzündlichen Erkrankungen.

24. Polypeptid nach Anspruch 17 zur Behandlung von infektiösen Erkrankungen.

25. Polypeptid nach Anspruch 17 zur Behandlung von parasitären Erkrankungen.

26. Polypeptid nach Anspruch 17 zur Behandlung von Schockzuständen.

27. Polypeptid nach Anspruch 17 zur Behandlung von pathologischen Zuständen, die als Nebenwirkungen bei der Therapie mit TNF- $\alpha$  auftreten.

28. Polypeptid nach Anspruch 17 als Diagnostikum zur Bestimmung von TNF- $\alpha$  und/oder TNF- $\beta$ .

29. Pharmazeutische Zubereitungen, enthaltend eine die biologische Aktivität von TNF- $\alpha$  wirksam hemmende Menge eines Polypeptids nach Anspruch 17.

30. Pharmazeutische Zubereitungen, enthaltend eine die biologische Aktivität von TNF- $\beta$  wirksam hemmende Menge eines Polypeptids nach Anspruch 17.

Hierzu 4 Seite(n) Zeichnungen

40

45

50

55

60

65

## Fig. 1/1

GAATTCTCTGGACTGAGGCTCCAGTTCTGGCCTTGGGG

TTCAAGATCACTGGGACCAGGCCGTGATCTCTATGCCGAGTCTCAACCCTCAACTGTC  
ACCCCAAGGCACTTGGGACGTCTGGACAGACCGAGTCCGGAGGCCAGCACTGCC

\*\*\*

GCTGCCACACTGCCCTGAGCCAAATGGGGAGTGAGAGGCCA TAG CTG TCT GGC

S1	S5	S10	S15											
Met	Gly	Leu	Ser	Thr	Val	Pro	Asp	Leu	Leu	Leu	Pro	Leu	Val	Leu
ATG	GGC	CTC	TCC	ACC	GTG	CCT	GAC	CTG	CTG	CTG	CCA	CTG	GTG	CTC
216	225	234	243	252										

S20	S25	S29	1											
Leu	Glu	Leu	Leu	Val	Gly	Ile	Tyr	Pro	Ser	Gly	Val	Ile	Gly	Leu
CTG	GAG	CTG	TTG	GTG	GGA	ATA	TAC	CCC	TCA	GGG	GTT	ATT	GGA	CTG
261	270	279	288	297										

5	10	15												
Val	Pro	His	Leu	Gly	Asp	Arg	Glu	Lys	Arg	Asp	Ser	Val	Cys	Pro
GTC	CCT	CAC	CTA	GGG	GAC	AGG	GAG	AAG	AGA	GAT	AGT	GTG	TGT	CCC
306	315	324	333	342										

20	25	30												
Gln	Gly	Lys	Tyr	Ile	His	Pro	Gln	Asn	Asn	Ser	Ile	Cys	Cys	Thr
CAA	GGA	AAA	TAT	ATC	CAC	CCT	CAA	AAT	AAT	TCG	ATT	TGC	TGT	ACC
351	360	369	378	387										

35	40	45												
Lys	Cys	His	Lys	Gly	Thr	Tyr	Leu	Tyr	Asn	Asp	Cys	Pro	Gly	Pro
AAG	TGC	CAC	AAA	GGA	ACC	TAC	TTG	TAC	AAT	GAC	TGT	CCA	GGC	CCG
396	405	414	423	432										

50	55	60												
Gly	Gln	Asp	Thr	Asp	Cys	Arg	Glu	Cys	Glu	Ser	Gly	Ser	Phe	Thr
GGG	CAG	GAT	ACG	GAC	TGC	AGG	GAG	TGT	GAG	AGC	GGC	TCC	TTC	ACC
441	450	459	468	477										

65	70	75												
Ala	Ser	Glu	Asn	His	Leu	Arg	His	Cys	Leu	Ser	Cys	Ser	Lys	Cys
GCT	TCA	GAA	AAC	CAC	CTC	AGA	CAC	TGC	CTC	AGC	TGC	TCC	AAA	TGC
486	495	504	513	522										

80	85	90												
Arg	Lys	Glu	Met	Gly	Gln	Val	Glu	Ile	Ser	Ser	Cys	Thr	Val	Asp
CGA	AAG	GAA	ATG	GGT	CAG	GTG	GAG	ATC	TCT	TCT	TGC	ACA	GTG	GAC
531	540	549	558	567										

95	100	105												
Arg	Asp	Thr	Val	Cys	Gly	Cys	Arg	Lys	Asn	Gln	Tyr	Arg	His	Tyr
CGG	GAC	ACC	GTG	TGT	GGC	TGC	AGG	AAG	AAC	CAG	TAC	CGG	CAT	TAT
576	585	594	603	612										

110	115	120												
Trp	Ser	Glu	Asn	Leu	Phe	Gln	Cys	Phe	Asn	Cys	Ser	Leu	Cys	Leu
TGG	AGT	GAA	AAC	CTT	TTC	CAG	TGC	TTC	AAT	TGC	AGC	CTC	TGC	CTC
621	630	639	648	657										

## Fig. 1/2

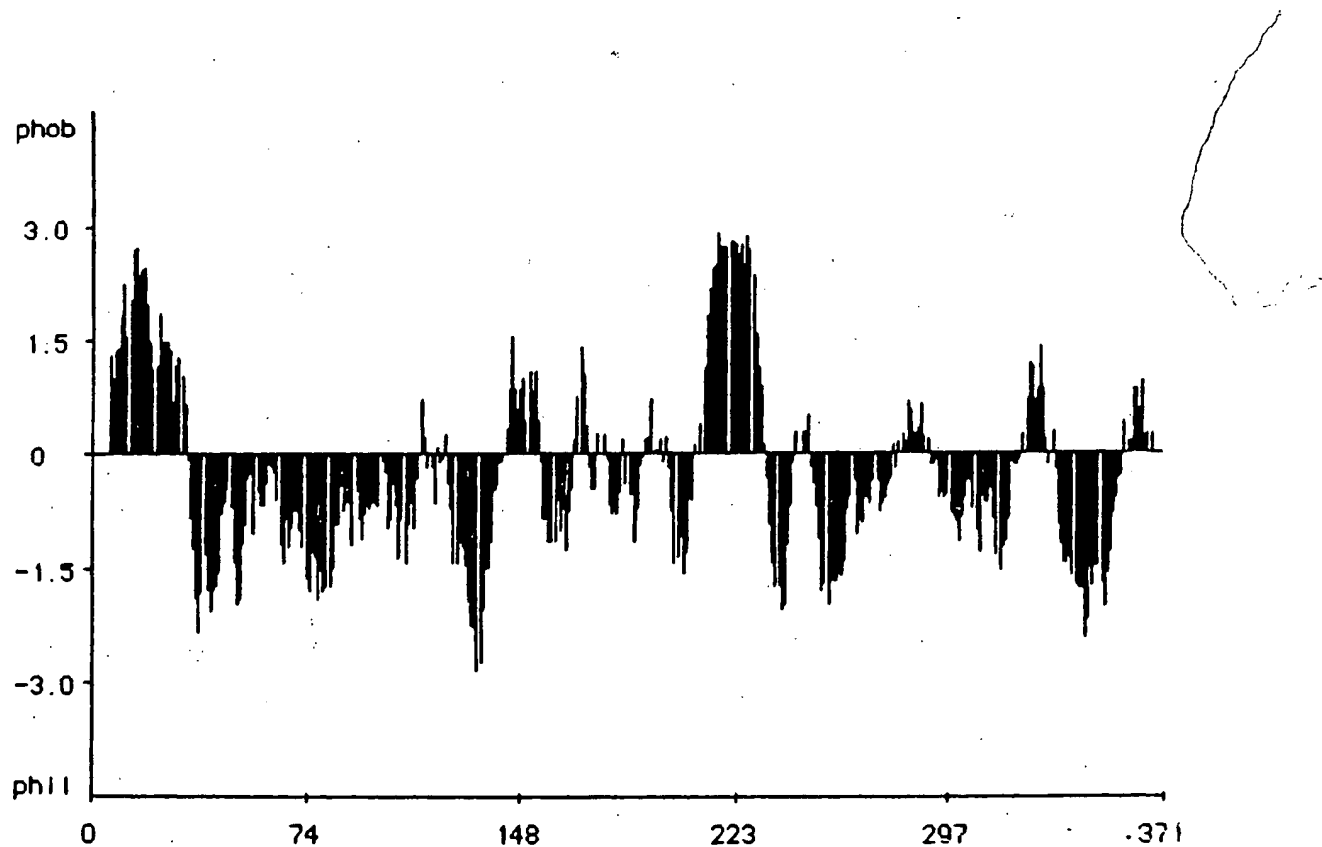
125	130	135
Asn Gly Thr Val His Leu Ser Cys Gln Glu Lys Gln Asn Thr Val		
AAT GGG ACC GTG CAC CTC TCC TGC CAG GAG AAA CAG AAC ACC GTG		
666	675	684
		693
		702
140	145	150
Cys Thr Cys His Ala Gly Phe Phe Leu Arg Glu Asn Glu Cys Val		
TGC ACC TGC CAT GCA GGT TTC TTT CTA AGA GAA AAC GAG TGT GTC		
711	720	729
		738
		747
155	160	165
Ser Cys Ser Asn Cys Lys Lys Ser Leu Glu Cys Thr Lys Leu Cys		
TCC TGT AGT AAC TGT AAG AAA AGC CTG GAG TGC ACG AAG TTG TGC		
756	765	774
		783
		792
170	175	180
Leu Pro Gln Ile Glu Asn Val Lys Gly Thr Glu Asp Ser Gly Thr		
CTA CCC CAG ATT GAG AAT GTT AAG GGC ACT GAG GAC TCA GGC ACC		
801	810	819
		828
		837
185	190	195
Thr Val Leu Leu Pro Leu Val Ile Phe Phe Gly Leu Cys Leu Leu		
ACA GTG CTG TTG CCC CTG GTC ATT TTC TTT GGT CTT TGC CTT TTA		
846	855	864
		873
		882
200	205	210
Ser Leu Leu Phe Ile Gly Leu Met Tyr Arg Tyr Gln Arg Trp Lys		
TCC CTC CTC TTC ATT GGT TTA ATG TAT CGC TAC CAA CGG TGG AAG		
891	900	909
		918
		927
215	220	225
Ser Lys Leu Tyr Ser Ile Val Cys Gly Lys Ser Thr Pro Glu Lys		
TCC AAG CTC TAC TCC ATT GTT TGT GGG AAA TCG ACA CCT GAA AAA		
936	945	954
		963
		972
230	235	240
Glu Gly Glu Leu Glu Gly Thr Thr Thr Lys Pro Leu Ala Pro Asn		
GAG GGG GAG CTT GAA GGA ACT ACT ACT AAG CCC CTG GCC CCA AAC		
981	990	999
		1008
		1017
245	250	255
Pro Ser Phe Ser Pro Thr Pro Gly Phe Thr Pro Thr Leu Gly Phe		
CCA AGC TTC AGT CCC ACT CCA GGC TTC ACC CCC ACC CTG GGC TTC		
1026	1035	1044
		1053
		1062
260	265	270
Ser Pro Val Pro Ser Ser Thr Phe Thr Ser Ser Ser Thr Tyr Thr		
AGT CCC GTG CCC AGT TCC ACC TTC ACC TCC AGC TCC ACC TAT ACC		
1071	1080	1089
		1098
		1107
275	280	285
Pro Gly Asp Cys Pro Asn Phe Ala Ala Pro Arg Arg Glu Val Ala		
CCC GGT GAC TGT CCC AAC TTT GCG GCT CCC CGC AGA GAG GTG GCA		
1116	1125	1134
		1143
		1152

## Fig. 1/3

290	295	300		
Pro Pro Tyr Gln Gly Ala Asp Pro Ile Leu Ala Thr Ala Leu Ala				
CQA CCC TAT CAG GGG GCT GAC CCC ATC CTT GCG ACA GCC CTC GCC				
1161	1170	1179	1188	1197
305	310	315		
Ser Asp Pro Ile Pro Asn Pro Leu Gln Lys Trp Glu Asp Ser Ala				
TCC GAC CCC ATC CCC AAC CCC CTT CAG AAG TGG GAG GAC AGC GCC				
1206	1215	1224	1233	1242
320	325	330		
His Lys Pro Gln Ser Leu Asp Thr Asp Asp Pro Ala Thr Leu Tyr				
CAC AAG CCA CAG AGC CTA GAC ACT GAT GAC CCC GCG ACG CTG TAC				
1251	1260	1269	1278	1287
335	340			
Ala Val Val Glu Asn Val Pro Pro Leu Arg Trp				
GCC GTG GTG GAG AAC GTG CCC CCG TTG CGC TGG AA <u>GGAATTC</u>				
1296	1305	1314	1323	1332

**This Page Blank (uspto)**

Fig. 2



**This Page Blank (uspto)**